

La science quantique

Une vision singulière

XII) Coupleurs

P.A. Besse

Etudions les Hamiltoniens de la forme:

$$H = \begin{pmatrix} E_0 & -T \\ -T & E_1 \end{pmatrix}$$

Hamiltonien général pour un single Qubit: (Matrice hermitienne)

$$H = \hbar \omega_m \cdot \mathbb{1} + \frac{\hbar \Omega}{2} \cdot (n_x \sigma_x + n_y \sigma_y + n_z \sigma_z)$$

↑
Energie
commune

Propagateur général pour un single Qubit:

$$U(t) = e^{-i \frac{H}{\hbar} t} = e^{-i \cdot \omega_m \cdot t} \cdot \left(\cos\left(\frac{\Omega}{2}t\right) \cdot \mathbb{1} - i \sin\left(\frac{\Omega}{2}t\right) \cdot (n_x \sigma_x + n_y \sigma_y + n_z \sigma_z) \right)$$

↑
Phase
commune

Rotation d'angle $\Omega \cdot t$ de la sphère de Bloch autour de l'axe $\vec{n} = (n_x \quad n_y \quad n_z)$

1) Fréquence de Larmor

(T=0)

Hamiltonien:

$$H = \begin{pmatrix} E_0 & 0 \\ 0 & E_1 \end{pmatrix} = \bar{E} \cdot 1 - \frac{\Delta E}{2} \cdot \sigma_z$$

$$\bar{E} \equiv \frac{E_0 + E_1}{2} \quad \Delta E \equiv E_1 - E_0$$

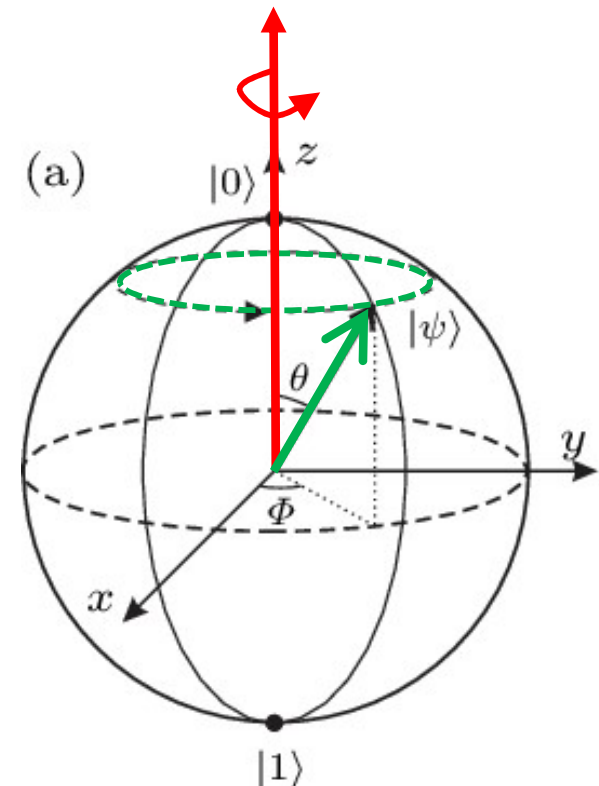
Propagateur:

$$U(t) = e^{-i \frac{H}{\hbar} t} = e^{-i \frac{\bar{E}}{\hbar} t} \cdot \left(\cos\left(\frac{1}{2} \frac{\Delta E}{\hbar} t\right) \cdot 1 + i \sin\left(\frac{1}{2} \frac{\Delta E}{\hbar} t\right) \cdot \sigma_z \right) = e^{-i \frac{\bar{E}}{\hbar} t} \cdot \begin{pmatrix} e^{+i \frac{1}{2} \frac{\Delta E}{\hbar} t} & 0 \\ 0 & e^{-i \frac{1}{2} \frac{\Delta E}{\hbar} t} \end{pmatrix}$$

Fréquence de Larmor

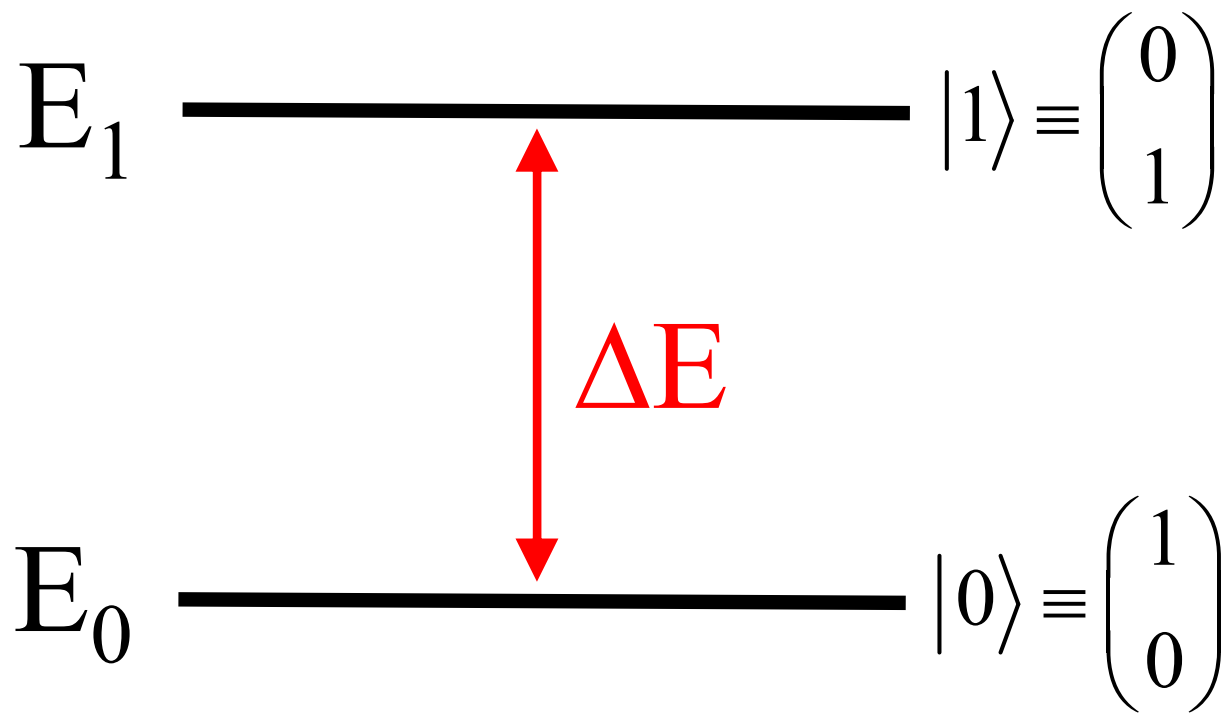
$$\Omega_L \equiv \frac{\Delta E}{\hbar}$$

Axe de rotation

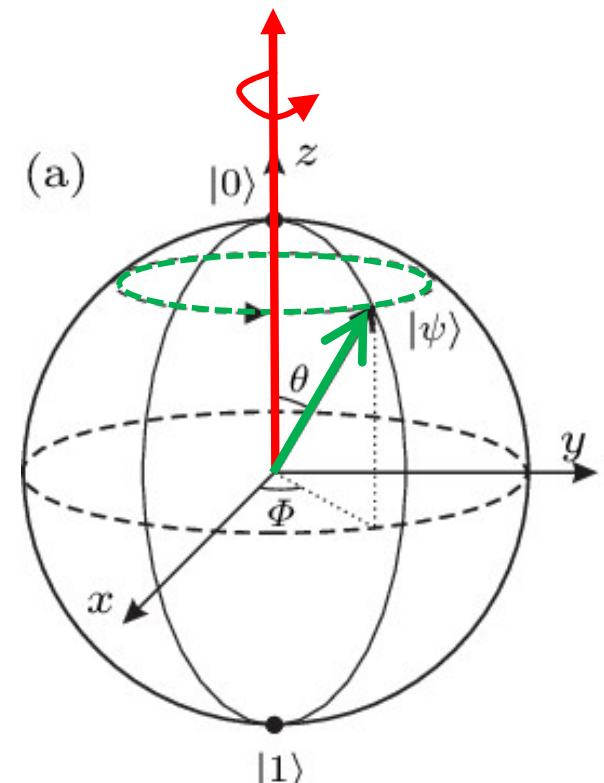


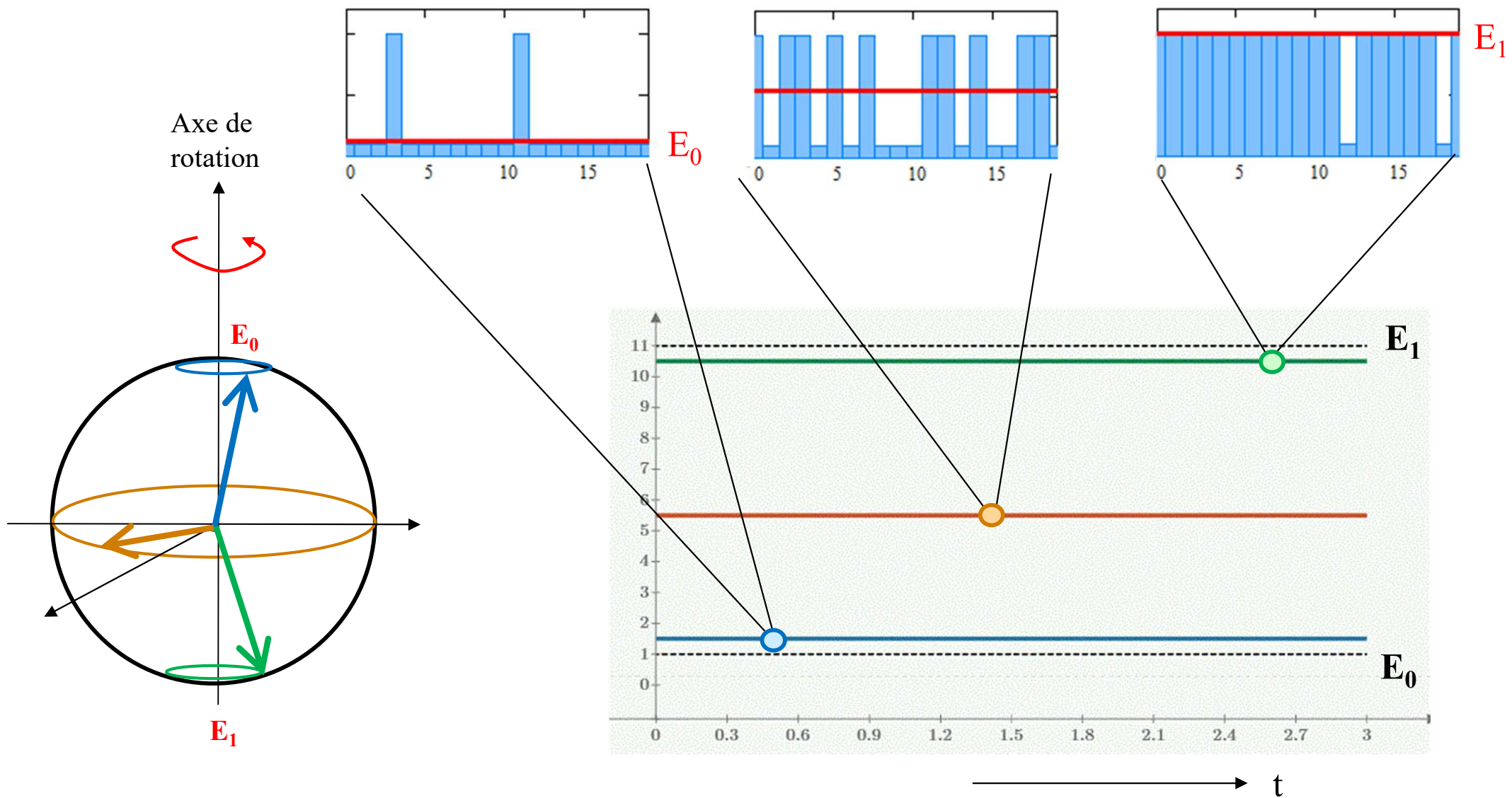
→ Rotation autour de l'axe Z

Rotation autour
de l'axe Z



Axe de rotation



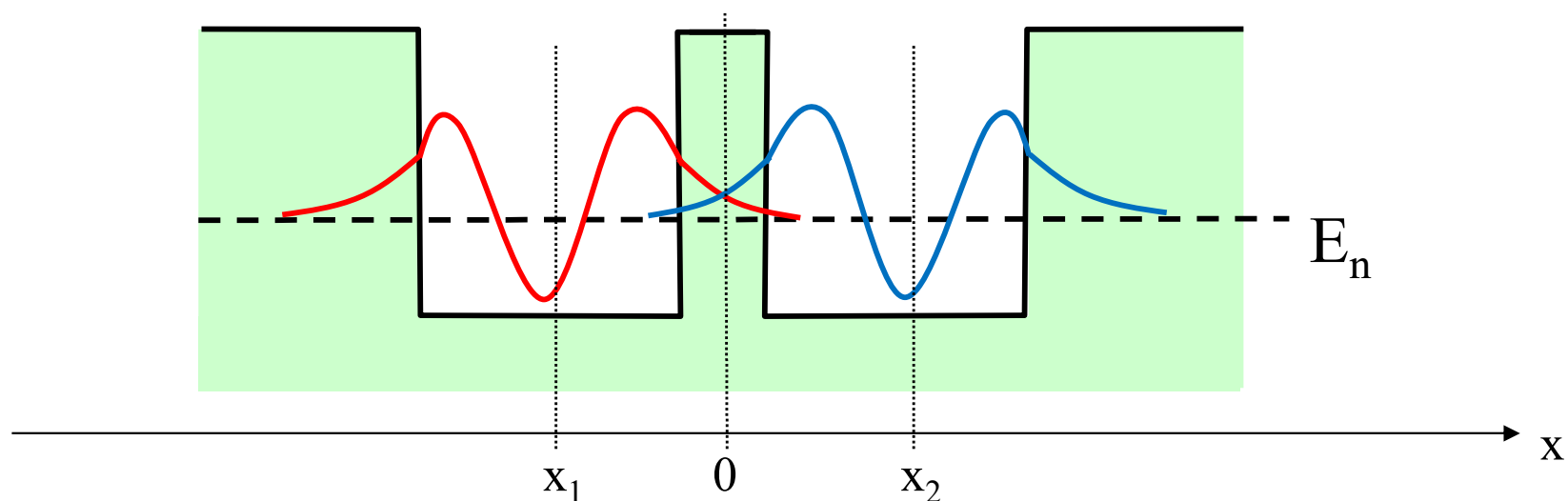


2) Double puits symétriques

couplés

$(E_0=E_1)$

Deux puits couplés



Théorie des modes couplés:

$$i\hbar \cdot \frac{\partial}{\partial t} \begin{pmatrix} \alpha_1 \\ \alpha_2 \end{pmatrix} = \begin{pmatrix} \bar{E} & -T \\ -T & \bar{E} \end{pmatrix} \cdot \begin{pmatrix} \alpha_1 \\ \alpha_2 \end{pmatrix}$$

Hamiltonien:

$$H = \begin{pmatrix} \bar{E} & -T \\ -T & \bar{E} \end{pmatrix} = \bar{E} \cdot \mathbf{1} - T \cdot \sigma_X$$

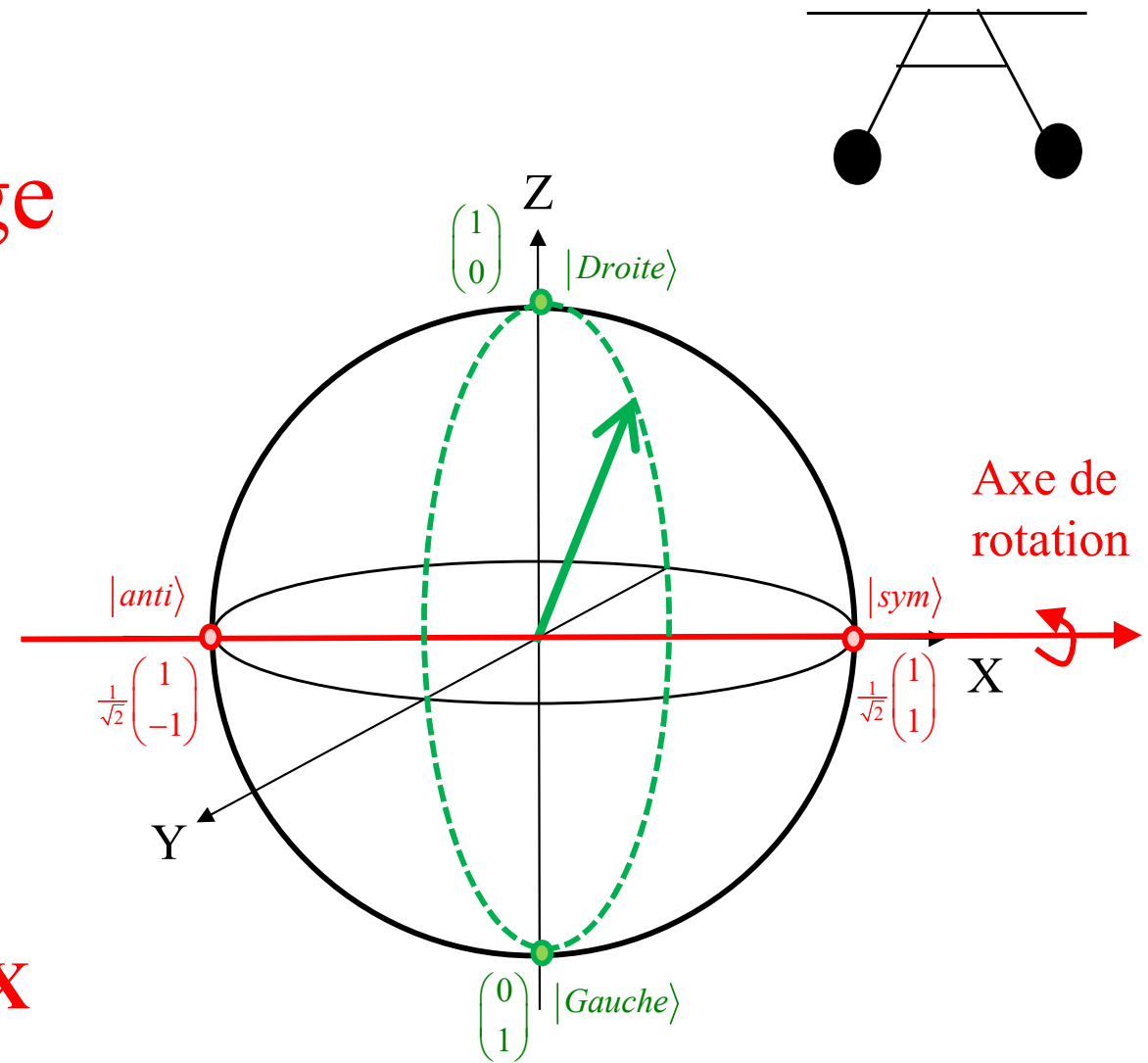
Propagateur:

$$U(t) = e^{-i \frac{H}{\hbar} t} = e^{-i \frac{\bar{E}}{\hbar} t} \cdot \left(\cos\left(\frac{1}{2} \frac{2T}{\hbar} t\right) \cdot \mathbf{1} + i \sin\left(\frac{1}{2} \frac{2T}{\hbar} t\right) \cdot \sigma_X \right) = e^{-i \frac{\bar{E}}{\hbar} t} \cdot \begin{pmatrix} \cos\left(\frac{1}{2} \frac{2T}{\hbar} t\right) & i \sin\left(\frac{1}{2} \frac{2T}{\hbar} t\right) \\ i \sin\left(\frac{1}{2} \frac{2T}{\hbar} t\right) & \cos\left(\frac{1}{2} \frac{2T}{\hbar} t\right) \end{pmatrix}$$

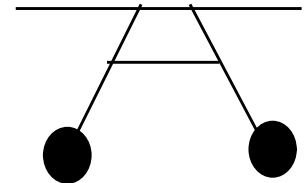
Fréquence de couplage

$$\Omega_C \equiv \frac{2T}{\hbar}$$

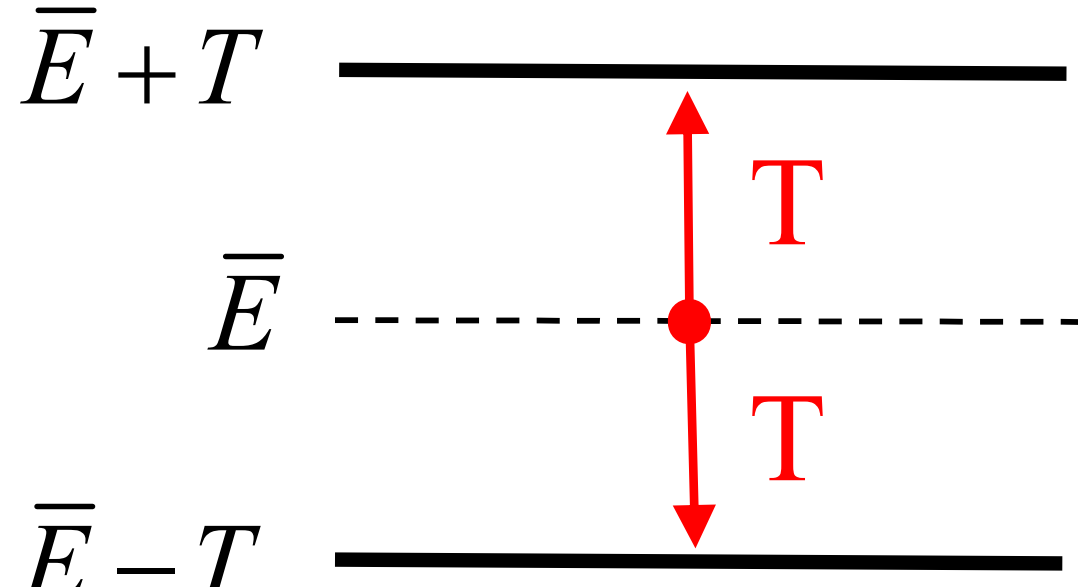
→ Rotation autour de l'axe X



Rotation autour
de l'axe X



$$2T \equiv \hbar \cdot \Omega_C$$



$$|anti\rangle \equiv \frac{1}{\sqrt{2}} \begin{pmatrix} 1 \\ -1 \end{pmatrix}$$

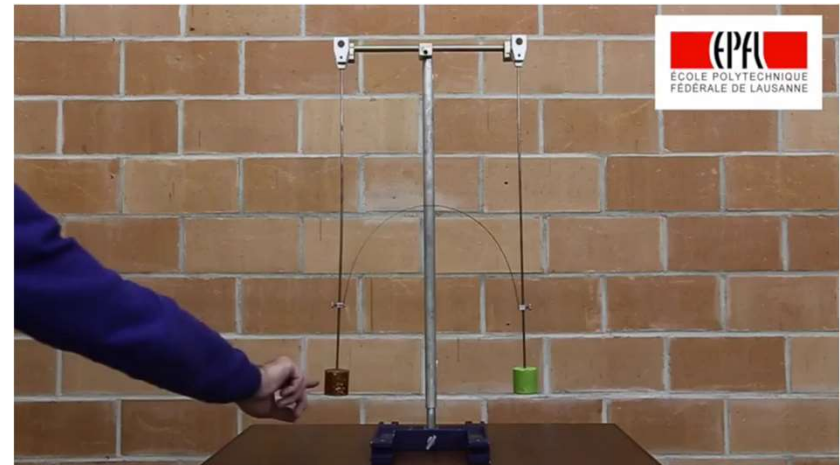
$$|sym\rangle \equiv \frac{1}{\sqrt{2}} \begin{pmatrix} 1 \\ 1 \end{pmatrix}$$

Pendules couplés: battements

<https://www.youtube.com/watch?v=aFacOh9hW9U>

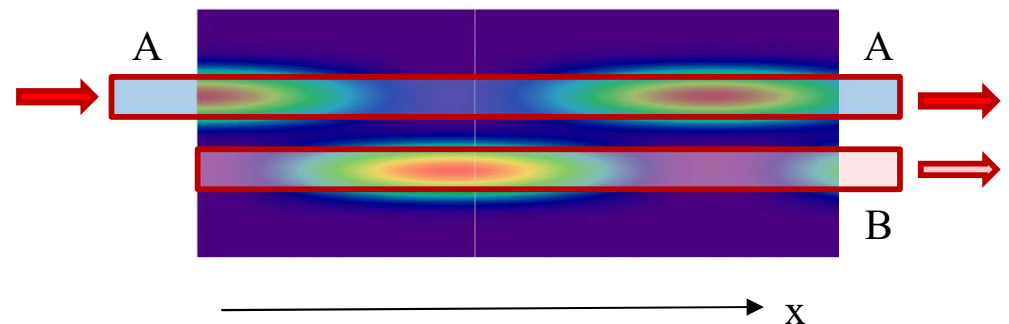
Probabilité «Gauche»:

$$P_G(t) = \left| \langle (1, 0) | \psi^{out} \rangle \right|^2 = \cos^2 \left(\frac{1}{2} \frac{2T}{\hbar} \tau \right)$$



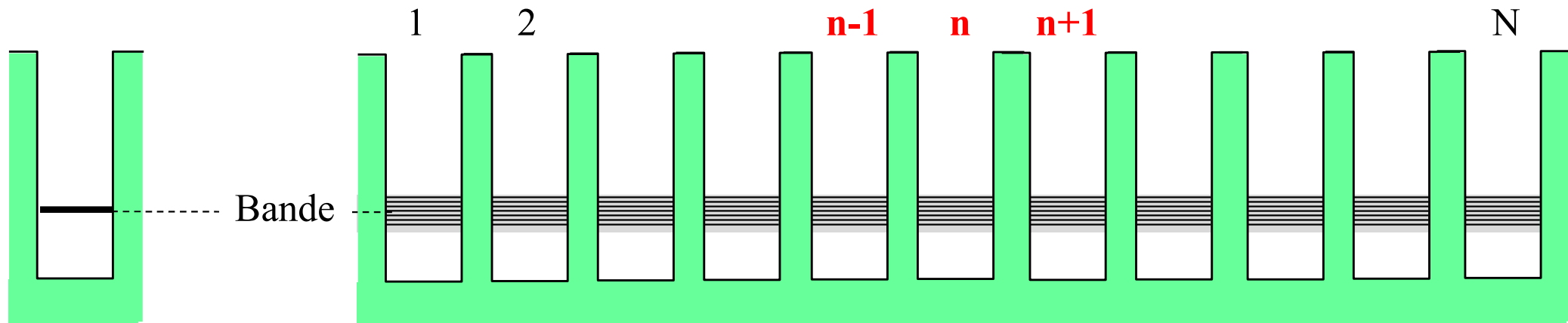
Probabilité «Droite»:

$$P_D(t) = \left| \langle (0, 1) | \psi^{out} \rangle \right|^2 = \sin^2 \left(\frac{1}{2} \frac{2T}{\hbar} \tau \right)$$

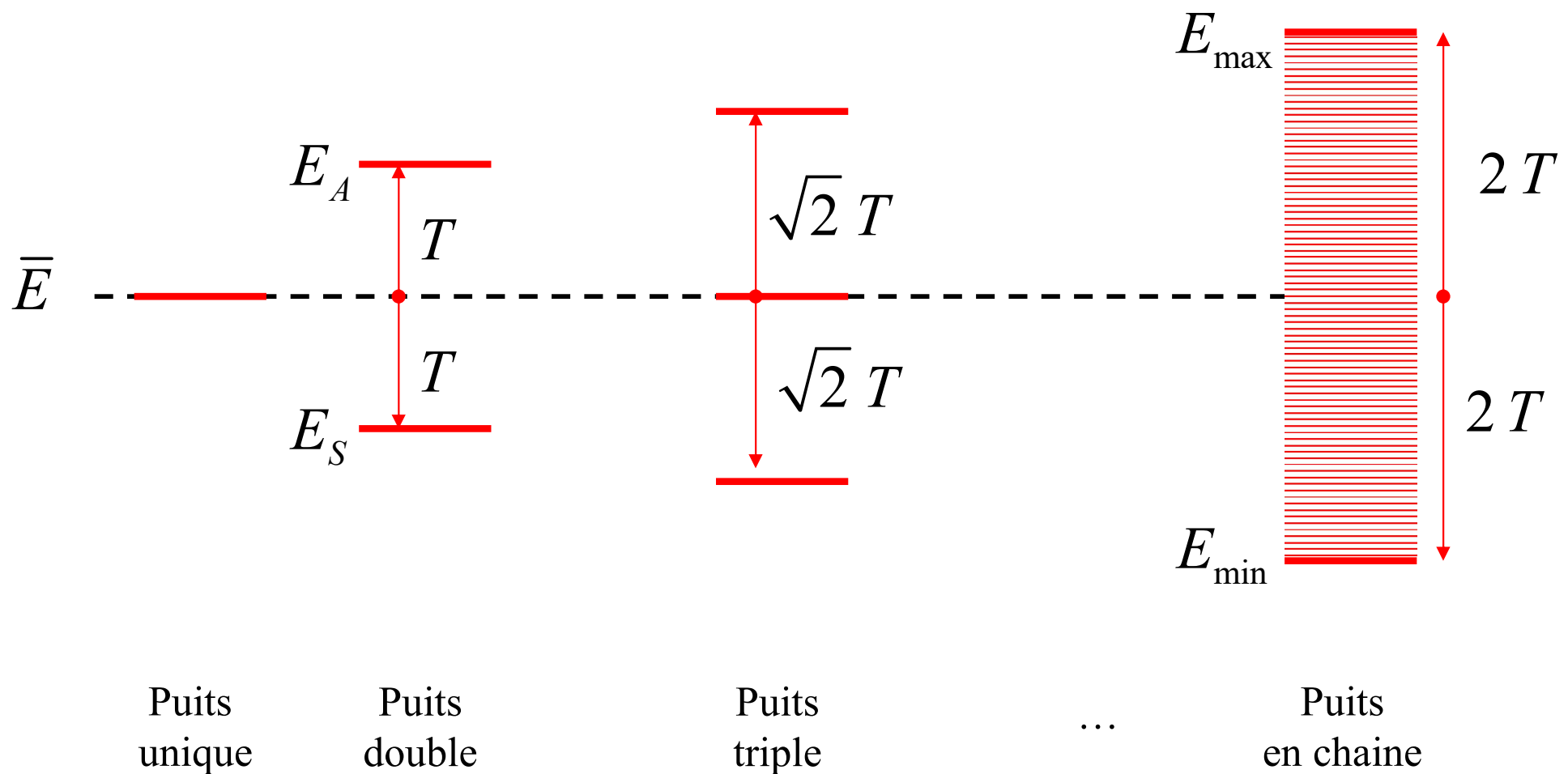


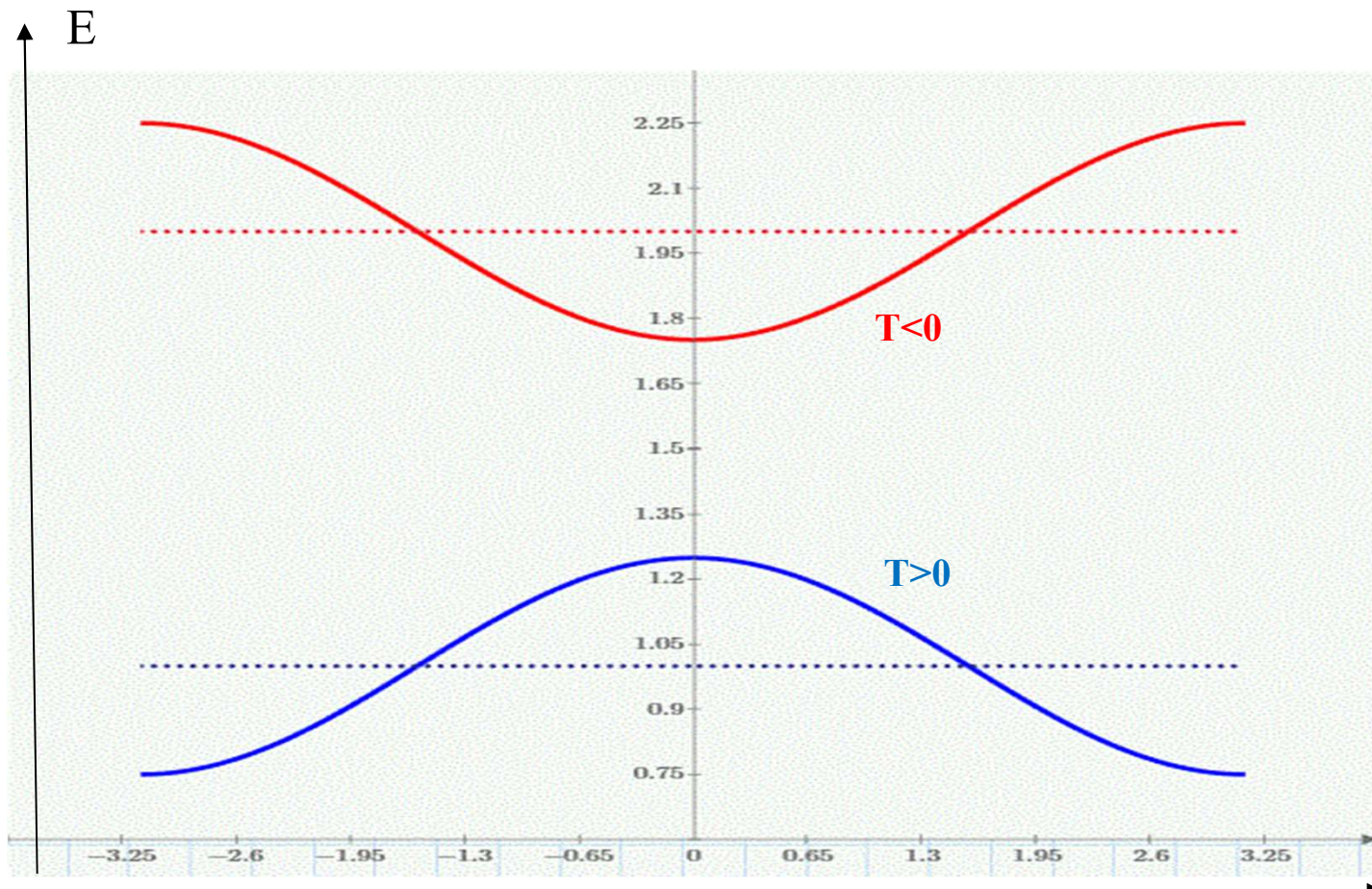
Formation de bandes

Rappel:
Chaine de puits couplés



$$H = \begin{pmatrix} \bar{E} & -T & 0 & 0 & 0 & 0 & 0 & 0 \\ -T & \bar{E} & -T & 0 & 0 & 0 & 0 & 0 \\ 0 & \dots & \dots & \dots & 0 & 0 & 0 & 0 \\ 0 & 0 & -T & \bar{E} & -T & 0 & 0 & 0 \\ 0 & 0 & 0 & -T & \bar{E} & -T & 0 & 0 \\ 0 & 0 & 0 & 0 & -T & \bar{E} & -T & 0 \\ 0 & 0 & 0 & 0 & 0 & \dots & \dots & -T \\ 0 & 0 & 0 & 0 & 0 & 0 & -T & \bar{E} \end{pmatrix} \quad |\psi\rangle \cong \begin{pmatrix} \alpha_1 \\ \alpha_2 \\ \vdots \\ \color{red}{\alpha_{n-1}} \\ \color{red}{\alpha_n} \\ \color{red}{\alpha_{n+1}} \\ \vdots \\ \alpha_N \end{pmatrix}$$





$$E(\delta) = \bar{E} - 2T \cdot \cos(\delta)$$

$$\delta = n \cdot \frac{2\pi}{N} \quad n = -\frac{N}{2}, \dots, \frac{N-1}{2}$$

3) Référentiel tournant et couplage AC

Référentiel fixe:

$$H = \begin{pmatrix} E_0 & -i \cdot T \cdot \sin(\omega t) \\ i \cdot T \cdot \sin(\omega t) & E_1 \end{pmatrix} = \bar{E} \cdot 1 - \frac{\Delta E}{2} \cdot \sigma_z + T \sin(\omega t) \cdot \sigma_y$$

Référentiel tournant à fréquence ω :

$$\bar{H} = \begin{pmatrix} E_0 & -T/2 \\ -T/2 & E_1 - \hbar\omega \end{pmatrix} = \left(\bar{E} - \frac{\hbar\omega}{2} \right) \cdot 1 - \frac{(\hbar\Omega_L - \hbar\omega)}{2} \cdot \sigma_z - \frac{T}{2} \cdot \sigma_x$$

Avec la fréquence de Larmor: $\Omega_L = \Delta E / \hbar$

Dans le référentiel tournant

$$\bar{H} = \left(\bar{E} - \frac{\hbar\omega}{2} \right) \cdot 1 - \frac{\hbar\Omega_R}{2} \cdot (\bar{n}_x \sigma_x + \bar{n}_z \sigma_z)$$

Fréquence de Rabi:

$$\hbar\Omega_R \equiv \sqrt{\hbar^2 (\Omega_L - \omega)^2 + T^2}$$

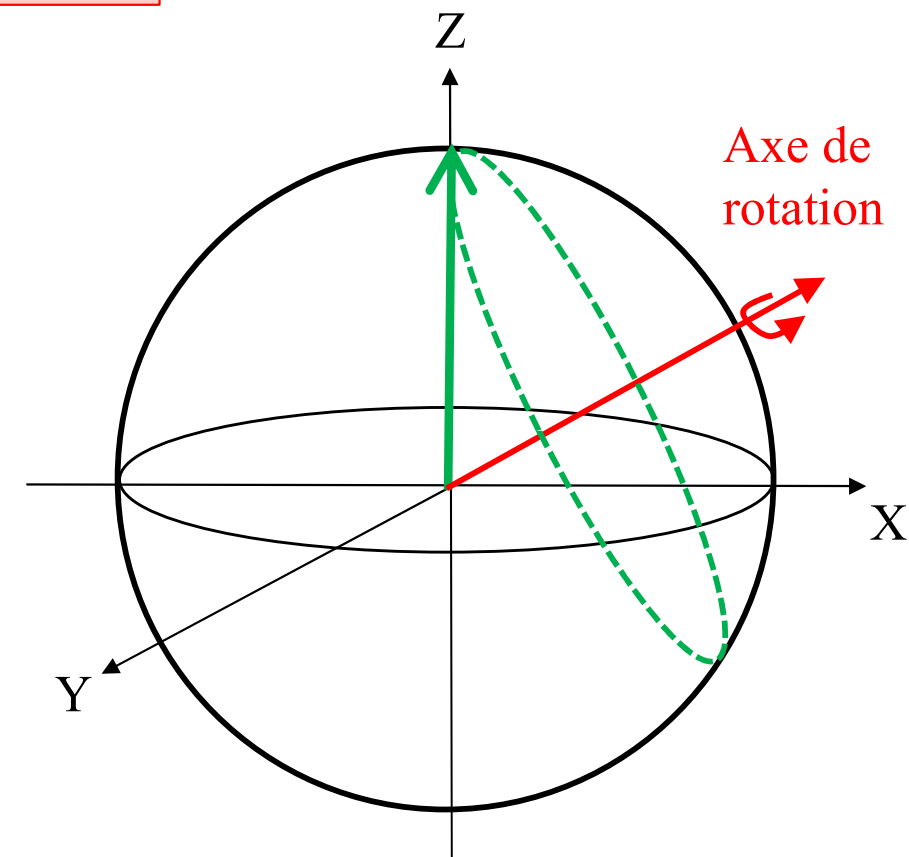
Axe de rotation:

$$\bar{n}_x = \frac{T}{\hbar\Omega_R}$$

$$\bar{n}_y = 0$$

$$\bar{n}_z = \frac{\Omega_L - \omega}{\Omega_R}$$

Dans le référentiel tournant



Rappel Fréquence de Rabi: Effet du detuning

$$\omega = \Omega_L$$

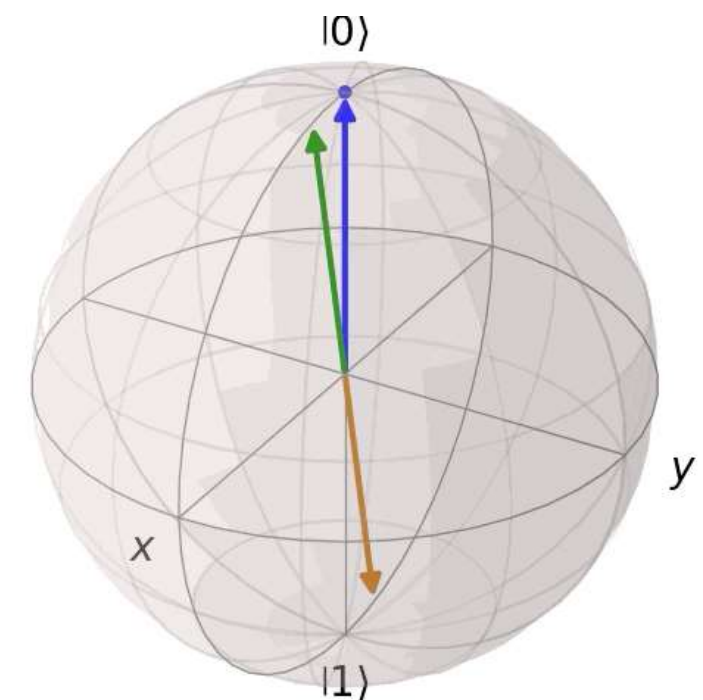
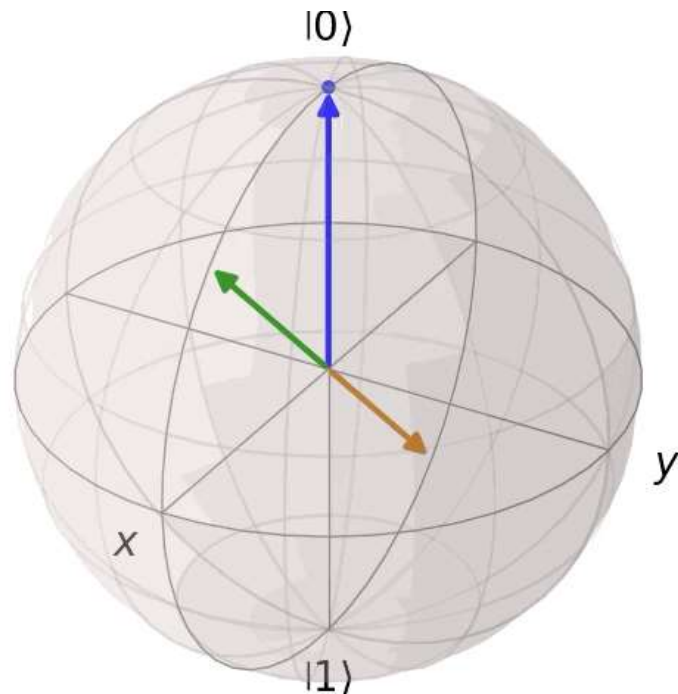
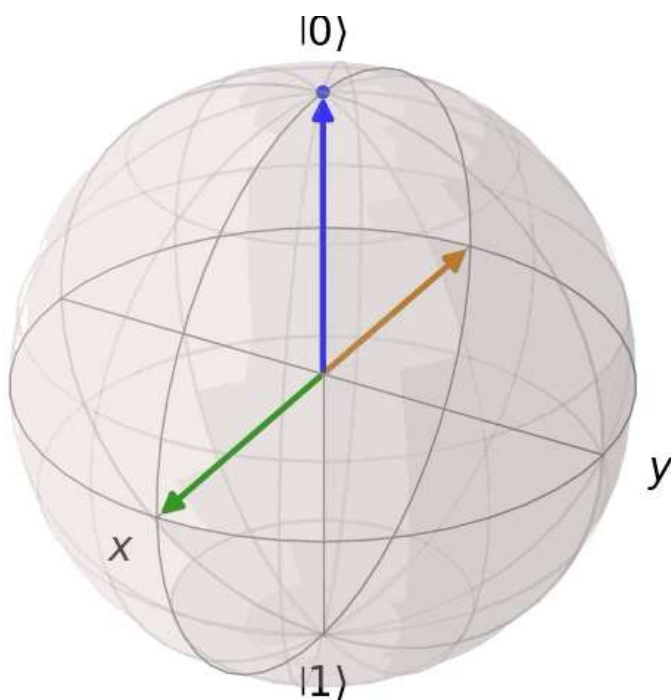
Résonnant

$$\omega \neq \Omega_L$$

Detuned

$$\omega \neq \Omega_L$$

Strongly detuned



Simulations par: Romain Nicolas Paul Couyoumtzelis

Fréquence de Larmor et de Rabi couplage résonnant

$$H = \begin{pmatrix} E_0 & -T \cos(\omega t) \\ -T \cdot \cos(\omega t) & E_1 \end{pmatrix}$$

Larmor

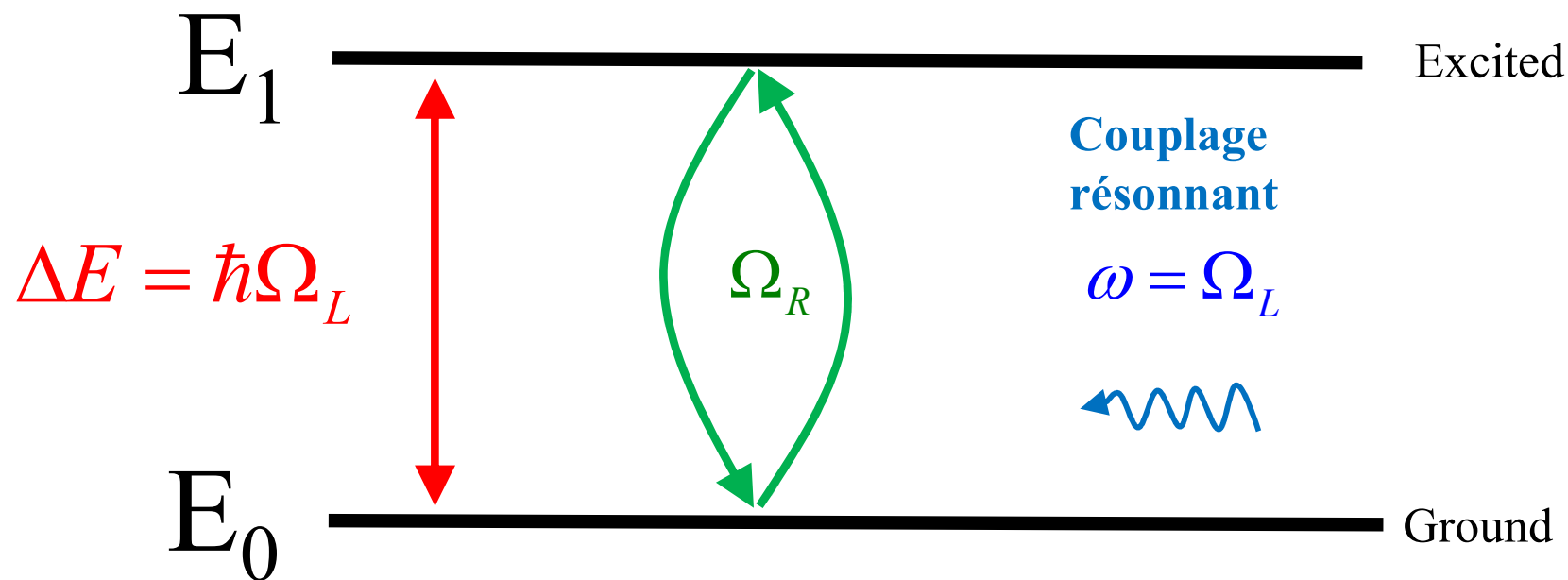
$$\Omega_L \equiv \frac{E_1 - E_0}{\hbar}$$

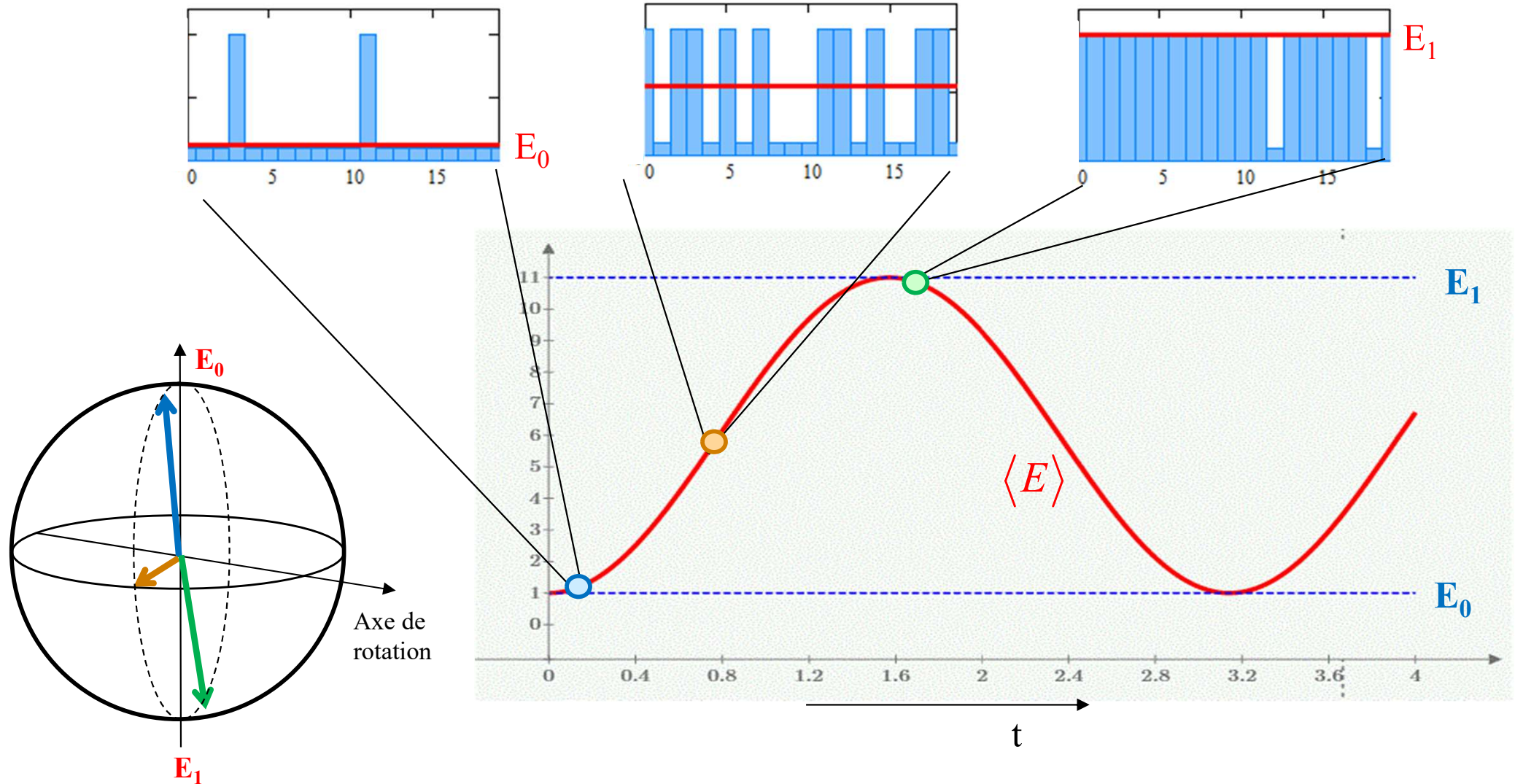
Résonnance

$$\omega = \Omega_L$$

Rabi

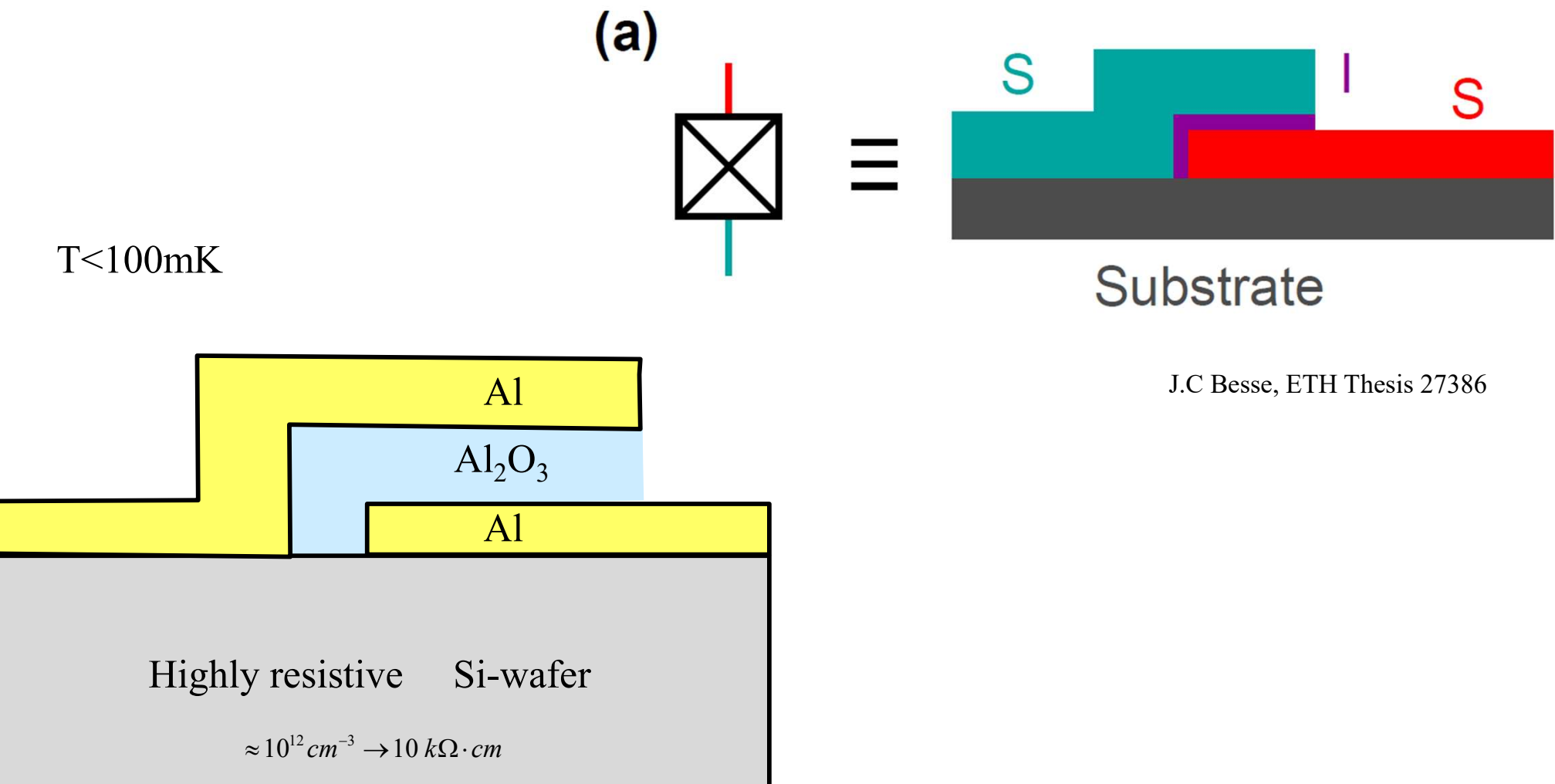
$$\Omega_R \equiv \frac{T}{\hbar}$$

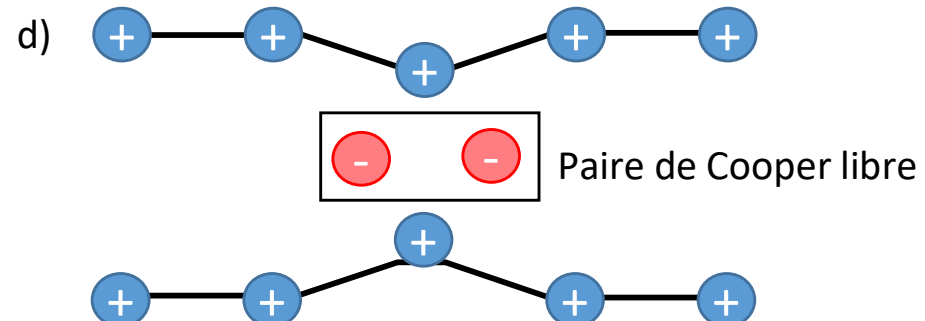
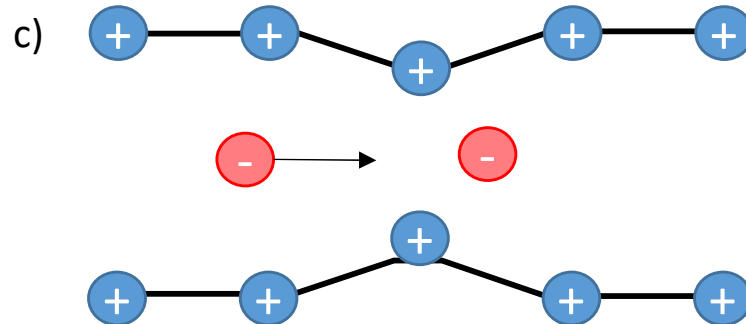
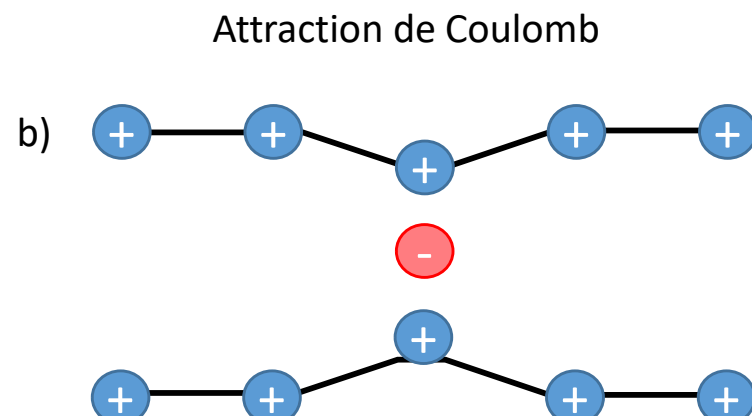
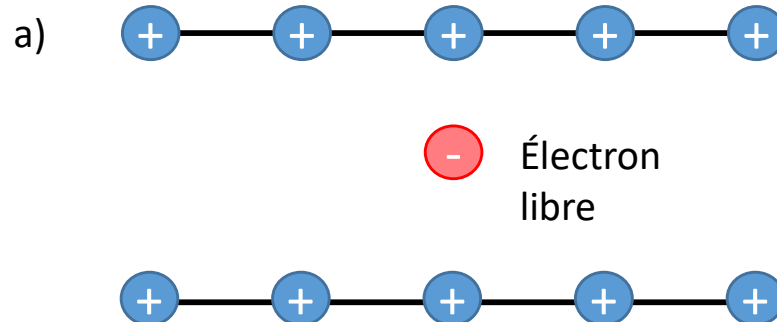




Jonction de Josephson

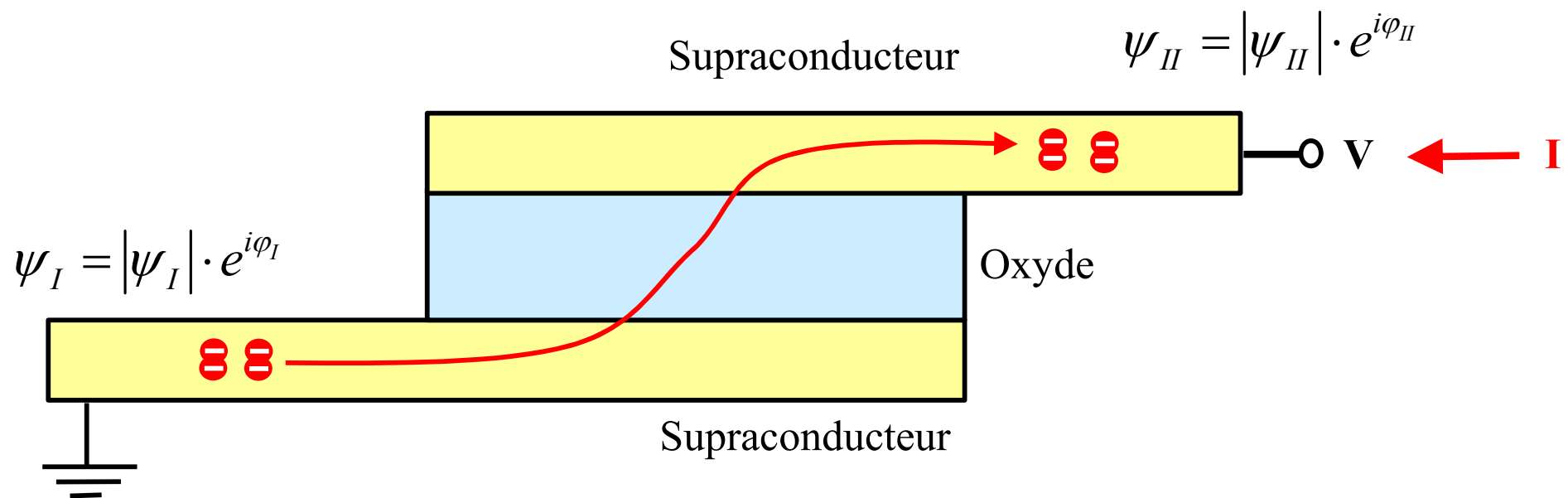
Jonction de Josephson: structure



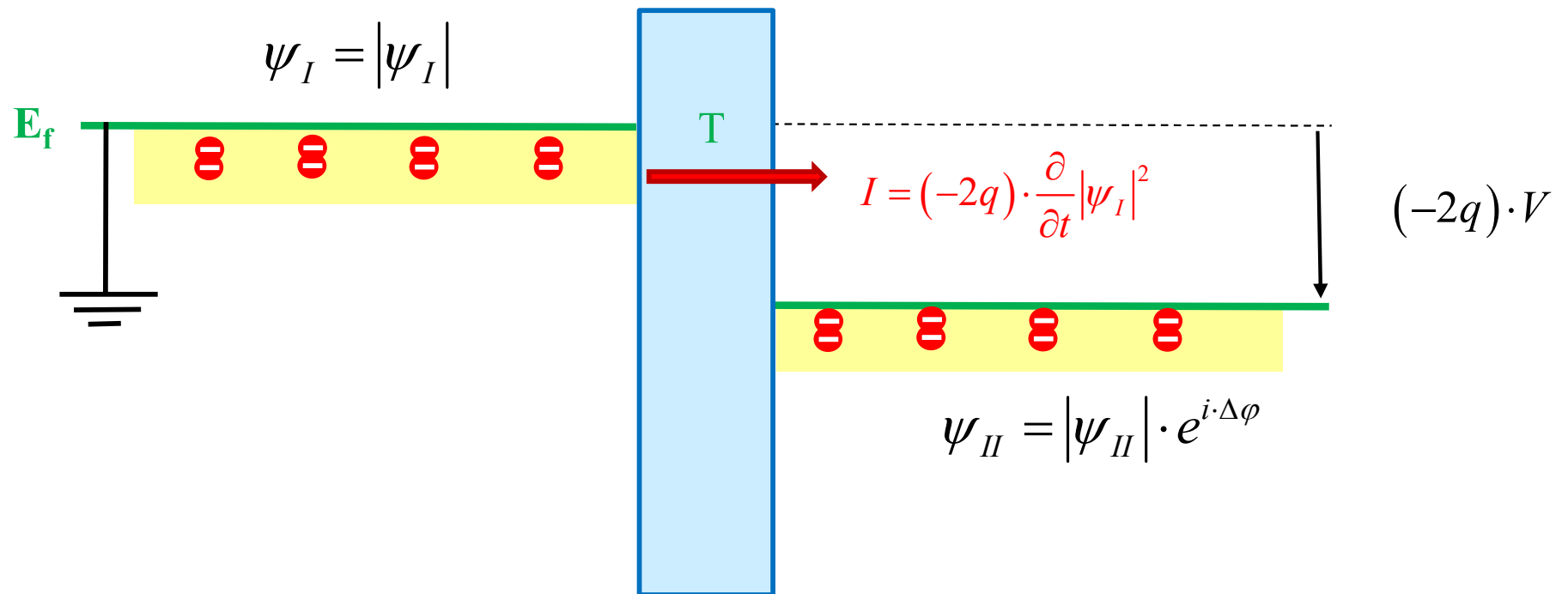


Jonction de Josephson: principe

Effet tunnel pour des paires de Cooper à des températures de mK.



Modèle:
effet tunnel entre deux lacs de paires de Cooper



$$H = \begin{pmatrix} 0 & -T \\ -T & -2qV \end{pmatrix}$$

Josephson junction: $i\hbar \cdot \frac{\partial}{\partial t} \begin{pmatrix} \psi_I \\ \psi_{II} \end{pmatrix} = \begin{pmatrix} 0 & -T \\ -T & -2qV \end{pmatrix} \cdot \begin{pmatrix} \psi_I \\ \psi_{II} \end{pmatrix}$

Supposons: $\psi_I = |\psi_I| \cdot e^{i\varphi_I} \quad \Rightarrow \quad i\hbar \cdot \frac{\partial}{\partial t} \psi_I = i\hbar \cdot e^{i\varphi_I} \cdot \frac{\partial}{\partial t} |\psi_I| + i\hbar \cdot |\psi_I| \cdot e^{i\varphi_I} \cdot i \frac{\partial}{\partial t} \varphi_I$

$\psi_{II} = |\psi_{II}| \cdot e^{i\varphi_{II}} \quad \Rightarrow \quad i\hbar \cdot \frac{\partial}{\partial t} \psi_{II} = i\hbar \cdot e^{i\varphi_{II}} \cdot \frac{\partial}{\partial t} |\psi_{II}| + i\hbar \cdot |\psi_{II}| \cdot e^{i\varphi_{II}} \cdot i \frac{\partial}{\partial t} \varphi_{II}$

$\Rightarrow \left\{ \begin{array}{l} \frac{\partial}{\partial t} |\psi_I| + i \cdot |\psi_I| \cdot \frac{\partial}{\partial t} \varphi_I = \frac{T}{\hbar} |\psi_{II}| (i \cdot \cos(\varphi_{II} - \varphi_I) - \sin(\varphi_{II} - \varphi_I)) \\ \frac{\partial}{\partial t} |\psi_{II}| + i \cdot |\psi_{II}| \cdot \frac{\partial}{\partial t} \varphi_{II} = i \cdot \frac{2qV}{\hbar} \cdot |\psi_{II}| + \frac{T}{\hbar} |\psi_I| (i \cdot \cos(\varphi_I - \varphi_{II}) - \sin(\varphi_I - \varphi_{II})) \end{array} \right.$

Supposons: $|\psi_I| \equiv |\psi_{II}| \equiv |\psi|$

Partie réelle:

$$\left\{ \begin{array}{l} \frac{\partial}{\partial t} |\psi_I| = -\frac{T}{\hbar} |\psi| \cdot \sin(\varphi_{II} - \varphi_I) \\ \frac{\partial}{\partial t} |\psi_{II}| = \frac{T}{\hbar} |\psi| \cdot \sin(\varphi_{II} - \varphi_I) \end{array} \right.$$

Courant de II vers I

$$\Rightarrow I = (-2q) \cdot \frac{\partial}{\partial t} |\psi_I|^2 = \left[4q \frac{T}{\hbar} |\psi|^2 \right] \cdot \sin(\Delta\varphi)$$

$$I = I_0 \cdot \sin(\Delta\varphi)$$

Partie imaginaire:

$$\left\{ \begin{array}{l} \frac{\partial}{\partial t} \varphi_I = \frac{T}{\hbar} \cos(\Delta\varphi) \\ \frac{\partial}{\partial t} \varphi_{II} = \frac{2qV}{\hbar} + \frac{T}{\hbar} \cos(\Delta\varphi) \end{array} \right.$$

$$\Rightarrow V = \frac{\hbar}{(2q)} \cdot \frac{\partial}{\partial t} \Delta\varphi$$

Lois de Josephson:

$$I = I_0 \cdot \sin(\Delta\varphi)$$

$$V = \frac{\hbar}{(2q)} \cdot \frac{\partial}{\partial t} \Delta\varphi$$

Inductance de Josephson:

$$\frac{\partial I}{\partial t} = I_0 \cos(\Delta\varphi) \cdot \frac{\partial}{\partial t} \Delta\varphi = \frac{(2q)}{\hbar} I_0 \cos(\Delta\varphi) \cdot V$$

$$\frac{\partial I}{\partial t} \equiv \frac{1}{L_J} \cdot V \quad \Rightarrow$$

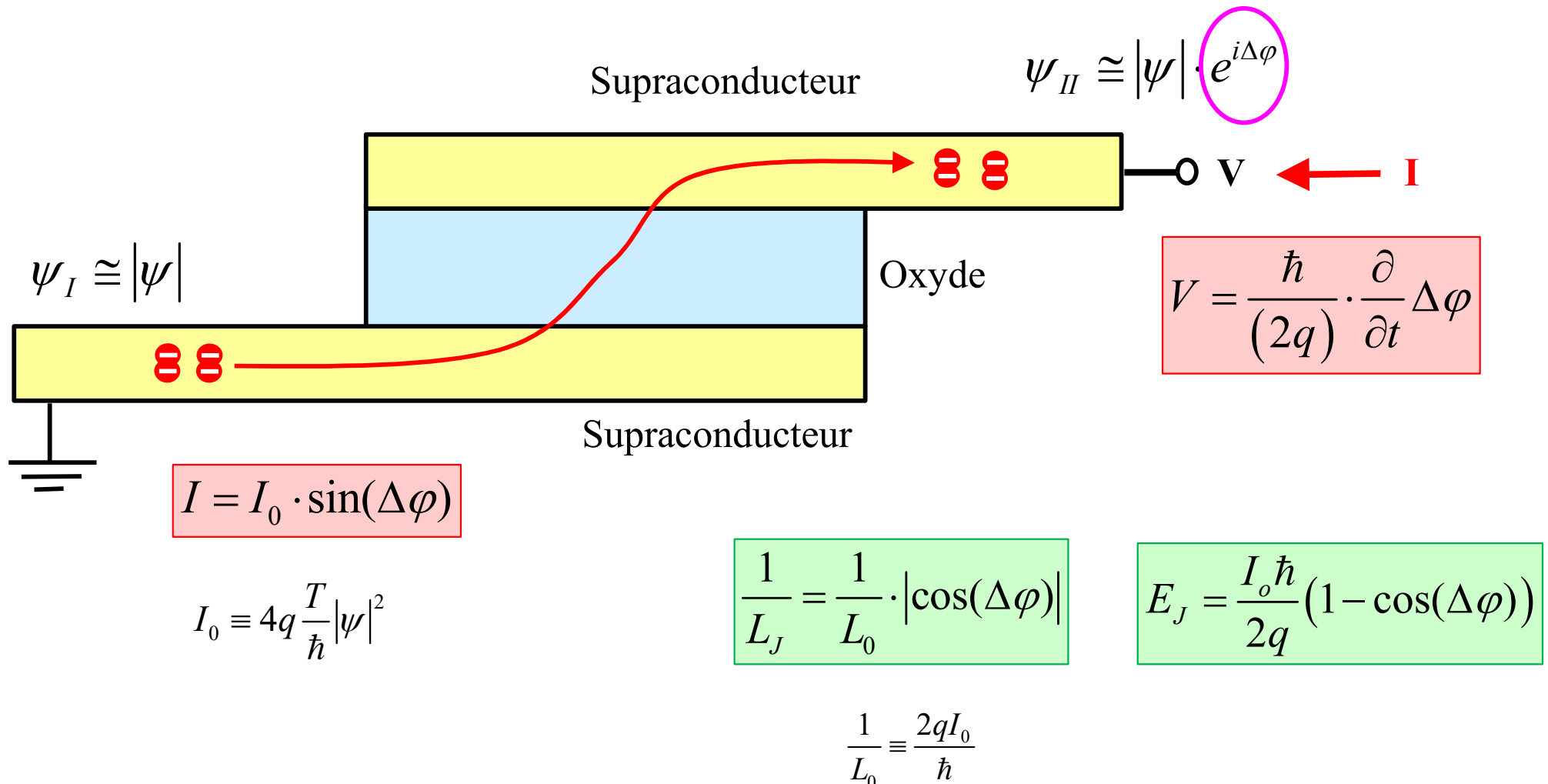
$$\frac{1}{L_J} = \frac{1}{L_0} \cdot \cos(\Delta\varphi) \quad \frac{1}{L_0} \equiv \frac{2qI_0}{\hbar}$$

Energie de Josephson:

$$E_J \equiv \int V \cdot I \cdot dt = \frac{I_o \hbar}{2q} \int_0^{\Delta\varphi} \sin(\varphi) d\varphi \Rightarrow$$

$$E_J = \frac{I_o \hbar}{2q} (1 - \cos(\Delta\varphi))$$

Effet tunnel pour des paires de Cooper à des températures de mK.

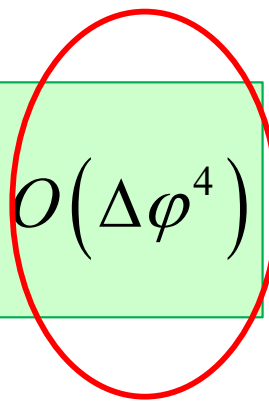


Hamiltonien «inductif» d'une jonction de Josephson

Pour une jonction de Josephson:

anharmonique

$$H_J \equiv E_J = \frac{I_o \hbar}{2q} (1 - \cos(\Delta\varphi)) \cong \frac{1}{2} \frac{1}{L_0} \cdot \left(\frac{\hbar}{2q} \right)^2 \Delta\varphi^2 - O(\Delta\varphi^4)$$



Pour une bobine inductive supraconductrice:

Phase de Berry:

Flux magnétique

$$H_J = \frac{1}{2} \frac{1}{L} \cdot \phi_{mag}^2 = \frac{1}{2} \frac{1}{L} \cdot \left(\frac{\hbar}{2q} \right)^2 \Delta\varphi^2$$

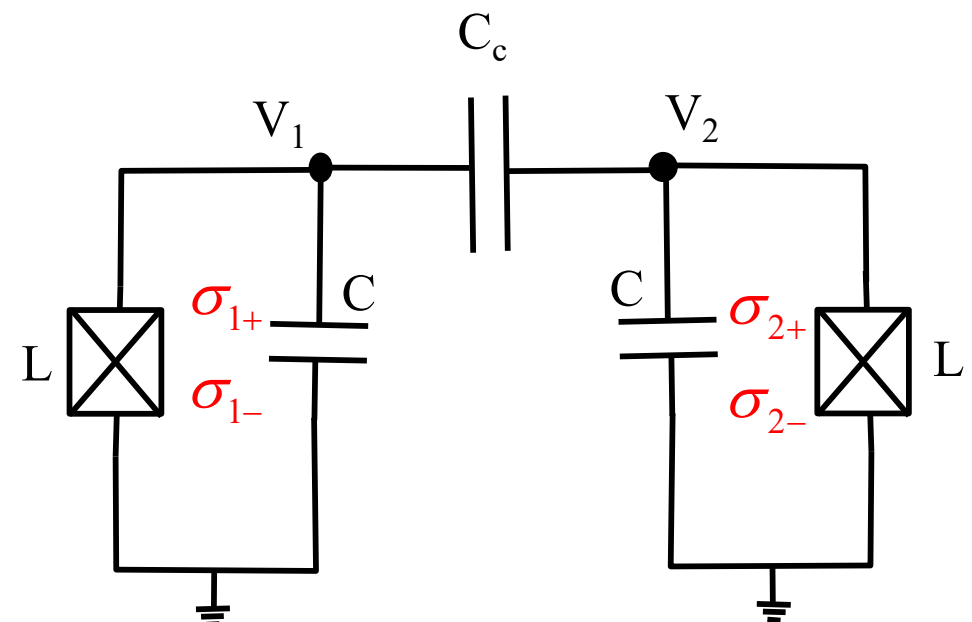
$$\Delta\varphi = \frac{(2q)}{\hbar} \cdot \oint \vec{A} \cdot d\vec{l} = 2\pi \cdot \frac{\phi_{mag}}{\phi_0}$$

$$\phi_0 \equiv \text{flux quantum} \equiv \frac{\hbar}{(2q)}$$

Couplage capacitif de deux qubits: iSWAP

$$H_c \approx -T \cdot (\sigma_{1+}\sigma_{2-} + \sigma_{1-}\sigma_{2+})$$

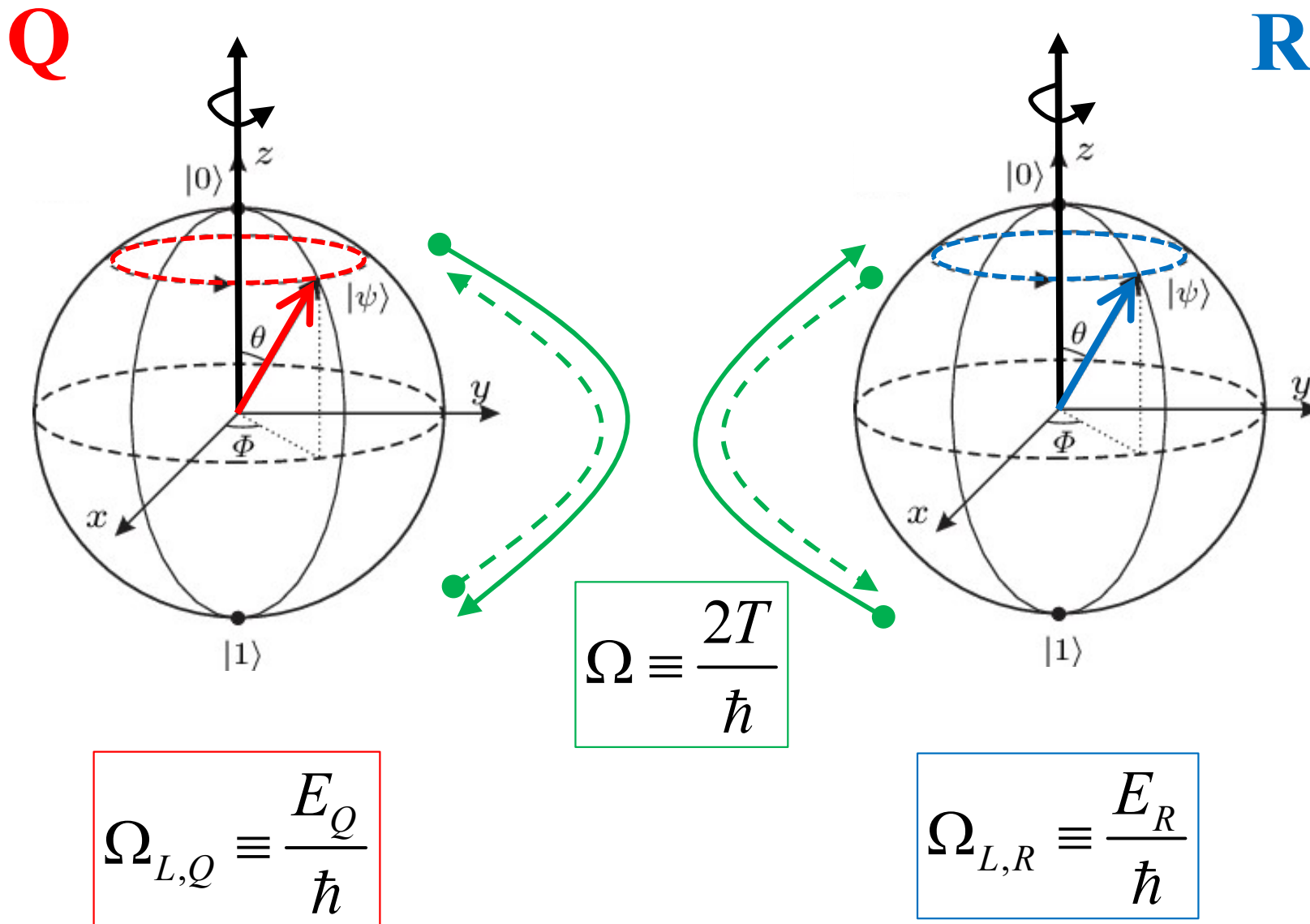
$$H_c \approx -T \cdot \begin{pmatrix} 0 & 0 & 0 & 0 \\ 0 & 0 & 1 & 0 \\ 0 & 1 & 0 & 0 \\ 0 & 0 & 0 & 0 \end{pmatrix}$$

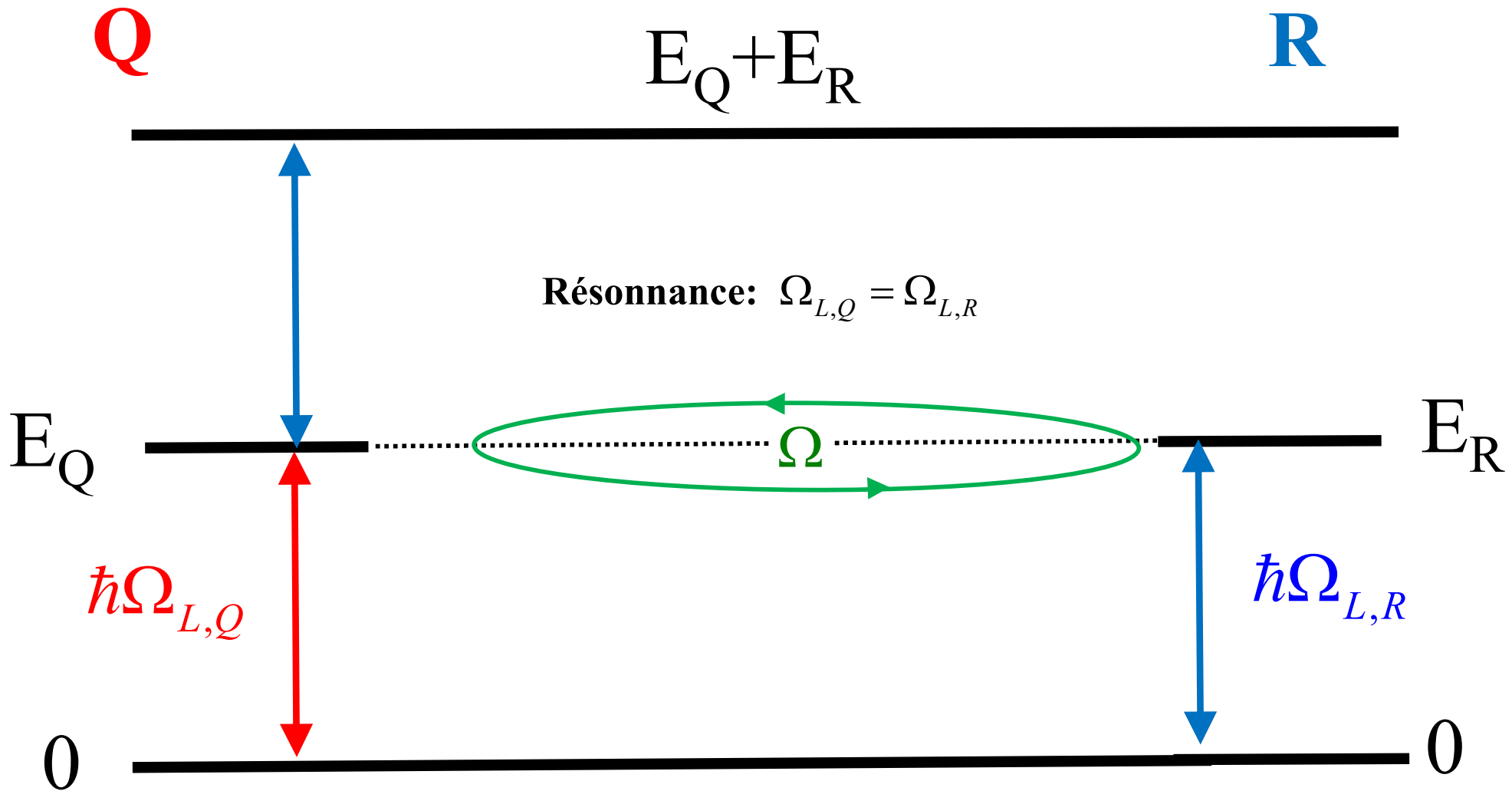


Référentiel fixe:

$$\begin{array}{ll}
 \text{Qubit «R»} & |\psi_R\rangle = \begin{pmatrix} a_0 \\ a_1 \end{pmatrix} \\
 \text{Qubit «Q»} & |\psi_Q\rangle = \begin{pmatrix} \alpha_0 \\ \alpha_1 \end{pmatrix}
 \end{array} \quad \Rightarrow \quad |\psi\rangle = \begin{pmatrix} a_0 \alpha_0 \\ a_0 \alpha_1 \\ a_1 \alpha_0 \\ a_1 \alpha_1 \end{pmatrix} \quad i\hbar \frac{\partial}{\partial t} |\psi\rangle = H \cdot |\psi\rangle$$

$$H = H_R + H_Q + H_C = \begin{pmatrix} 0 & 0 & 0 & 0 \\ 0 & E_Q & -T & 0 \\ 0 & -T & E_R & 0 \\ 0 & 0 & 0 & E_Q + E_R \end{pmatrix}$$



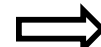


Double Qubit:

Référentiel fixe

$$H = \begin{pmatrix} 0 & 0 & 0 & 0 \\ 0 & E_Q & -T & 0 \\ 0 & -T & E_R & 0 \\ 0 & 0 & 0 & E_Q + E_R \end{pmatrix}$$

$$\hbar\omega = E_R = E_Q$$



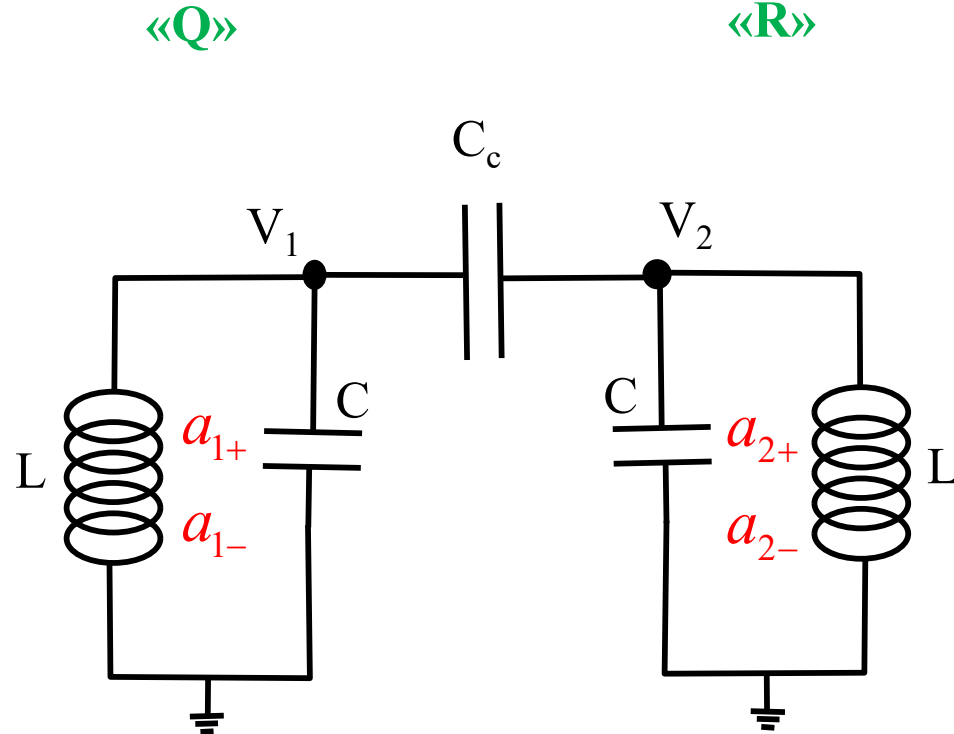
Référentiel tournant
en résonnance

$$\bar{H} = \begin{pmatrix} 0 & 0 & 0 & 0 \\ 0 & 0 & -T & 0 \\ 0 & -T & 0 & 0 \\ 0 & 0 & 0 & 0 \end{pmatrix}$$

Couplage capacitif

Qubit / résonateur

Rappel: couplage de deux résonnateurs «Q» et «R»



$$H_c \approx -T \cdot (a_{1+}a_{2-} + a_{1-}a_{2+})$$

$$a_+ = \begin{pmatrix} 0 & 0 & 0 & 0 & 0 \\ \sqrt{1} & 0 & 0 & 0 & 0 \\ 0 & \sqrt{2} & 0 & 0 & 0 \\ 0 & 0 & \sqrt{3} & 0 & 0 \\ 0 & 0 & 0 & \dots & 0 \\ 0 & 0 & 0 & 0 & \sqrt{n} \end{pmatrix}$$

$$a_- = \begin{pmatrix} 0 & \sqrt{1} & 0 & 0 & 0 & 0 \\ 0 & 0 & \sqrt{2} & 0 & 0 & 0 \\ 0 & 0 & 0 & \sqrt{3} & 0 & 0 \\ 0 & 0 & 0 & 0 & \dots & 0 \\ 0 & 0 & 0 & 0 & 0 & \sqrt{n} \\ 0 & 0 & 0 & 0 & 0 & 0 \end{pmatrix}$$

Rappel:
Couplage capacitif de deux qubits (2x2)

$$H \equiv (H_R + H_Q) + H_C = \begin{pmatrix} 0 & 0 & 0 & 0 \\ 0 & E_Q & -\sqrt{1 \cdot 1} \cdot T & 0 \\ 0 & -\sqrt{1 \cdot 1} \cdot T & E_R & 0 \\ 0 & 0 & 0 & E_R + E_Q \end{pmatrix} \quad |\psi\rangle = \begin{pmatrix} |0\rangle_R |0\rangle_Q \\ |0\rangle_R |1\rangle_Q \\ |1\rangle_R |0\rangle_Q \\ |1\rangle_R |1\rangle_Q \end{pmatrix}$$

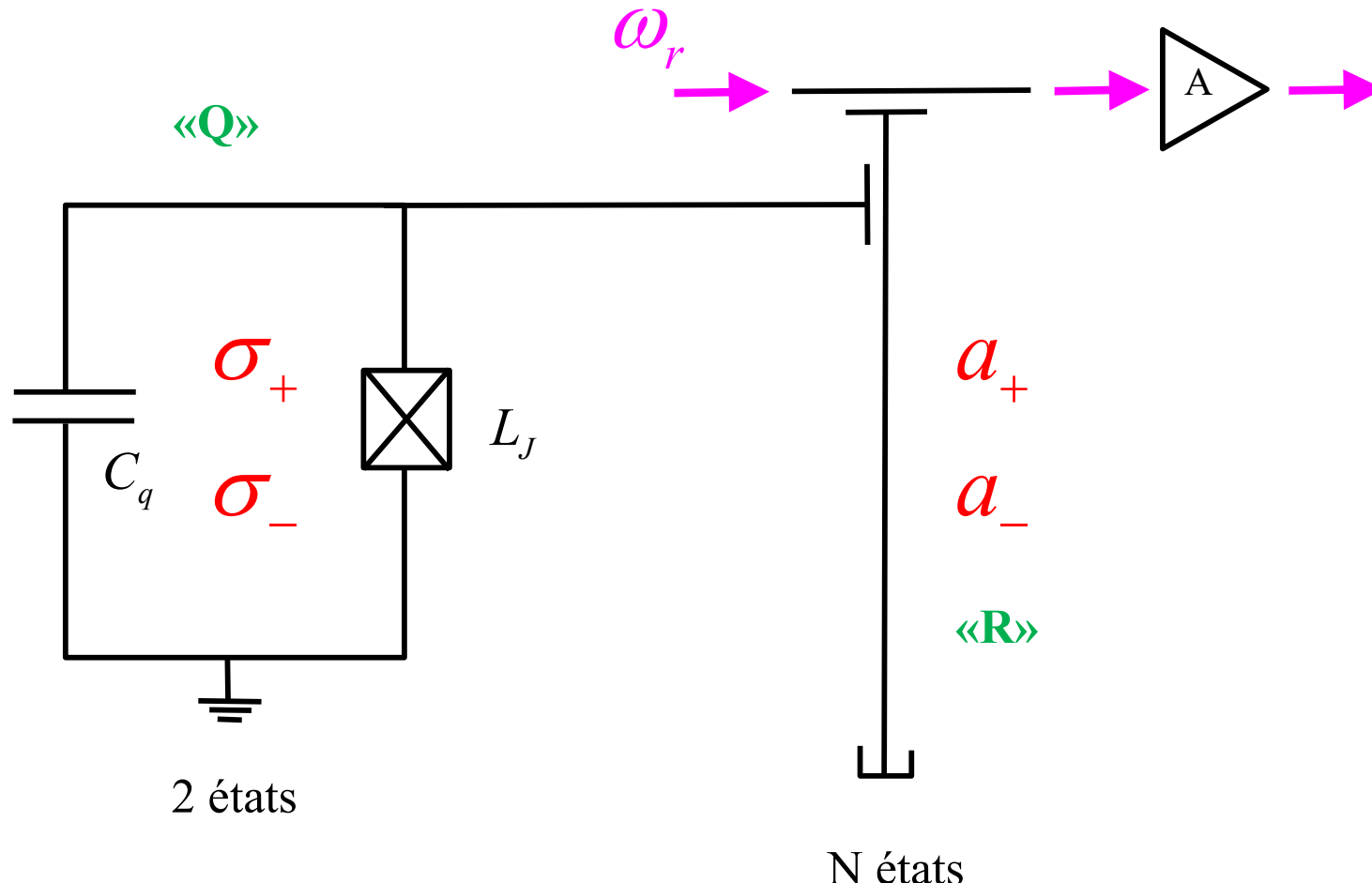
$$E_{00} = 0$$



$$E_{01} = \left(\frac{E_R + E_Q}{2} \right) + \sqrt{\left(\frac{E_Q - E_R}{2} \right)^2 + T^2}$$

$$E_{10} = \left(\frac{E_R + E_Q}{2} \right) - \sqrt{\left(\frac{E_Q - E_R}{2} \right)^2 + T^2}$$

$$E_{11} = E_R + E_Q$$



$$\bar{E}_{n,m} = n \cdot E_R + m \cdot E_Q \quad n = 0, \dots N \quad \text{et} \quad m = 0, 1$$

$$\bar{E}_{n,m} = n \cdot E_R + m \cdot E_Q \quad n=0, \dots, N \quad m=0,1$$

$$H = \left(\begin{array}{ccccccccc} 0 & & & & & & & & \\ \cdots & & & & & & & & \\ & \boxed{E_Q \quad -T} & & & & & & & \\ & -T \quad E_R & & & & & & & \\ & & 0 & & & & & & \\ & & & \boxed{\cdots \quad \cdots} & & & & & \\ & & & & 0 & & & & \\ & & & & & \boxed{(n-1)E_R + E_Q \quad -T \cdot \mathbf{a}_- \boldsymbol{\sigma}_+} & & & \\ & & & & & -T \cdot \mathbf{a}_+ \boldsymbol{\sigma}_- \quad n \cdot E_R & & & \\ & & & & & & \boxed{\cdots \quad \cdots} & & \\ & & & & & & & 0 & \\ & & & & & & & & \boxed{(N-1)E_R + E_Q} \\ 0 & & \cdots & & & & & & \\ \end{array} \right) \quad |\psi\rangle = \begin{pmatrix} |0\rangle_R |0\rangle_Q \\ |0\rangle_R |1\rangle_Q \\ |1\rangle_R |0\rangle_Q \\ \cdots \\ |n-1\rangle_R |1\rangle_Q \\ |n\rangle_R |0\rangle_Q \\ \cdots \\ |N-1\rangle_R |1\rangle_Q \end{pmatrix}$$

$$E_{0,1} = \left(\frac{E_R + E_Q}{2} \right) \pm \sqrt{\left(\frac{E_Q - E_R}{2} \right)^2 + T^2}$$

$$E_{0,0} = 0$$

$$E_{(n-1),1} = \left(\frac{(2n-1)E_R + E_Q}{2} \right) \pm \sqrt{\left(\frac{E_Q - E_R}{2} \right)^2 + (\sqrt{n} \cdot T)^2}$$

$$E_{(N-1),1} = (N-1)E_R + E_Q$$

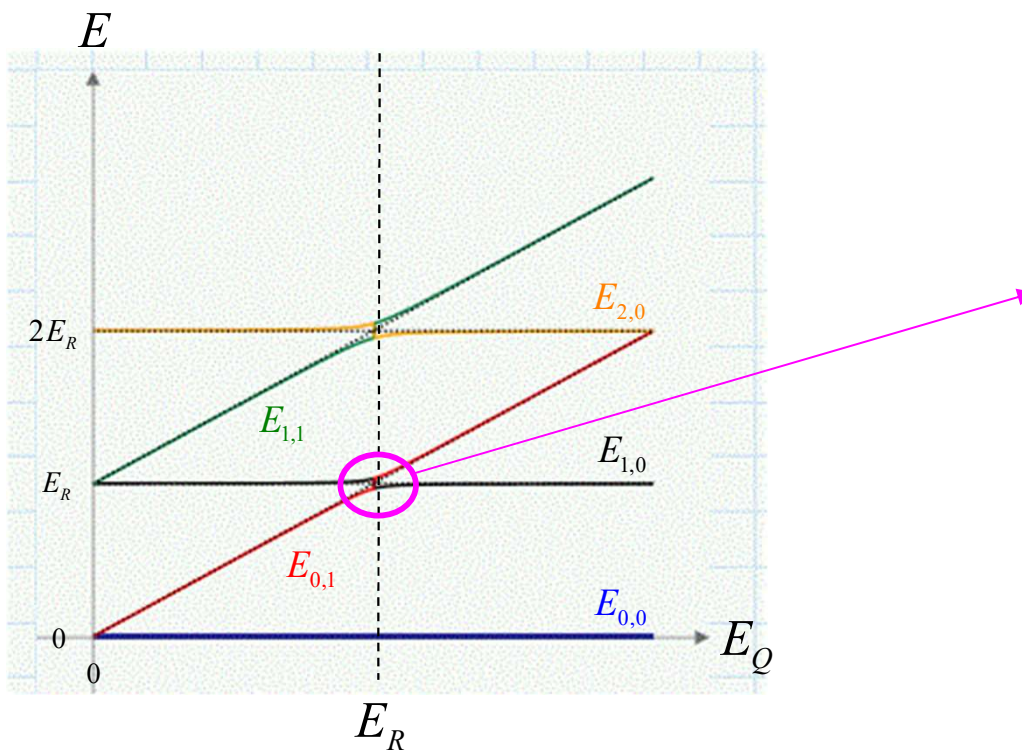
$$\begin{pmatrix}
 \cdots & 0 & 0 & \cdots \\
 0 & \begin{pmatrix} (n-1)E_R + E_Q & -T \cdot \sqrt{n \cdot 1} \\ -T \cdot \sqrt{n \cdot 1} & n \cdot E_R \end{pmatrix} & 0 & \begin{pmatrix} |n-1\rangle_R |1\rangle_Q \\ |n\rangle_R |0\rangle_Q \\ \cdots \end{pmatrix} \\
 0 & 0 & \cdots & \cdots
 \end{pmatrix} \cdot
 \begin{matrix}
 \downarrow
 \end{matrix}$$

$$E_{(n-1),1} = \left(\frac{(2n-1)E_R + E_Q}{2} \right) + \sqrt{\left(\frac{E_Q - E_R}{2} \right)^2 + (\sqrt{n} T)^2}$$

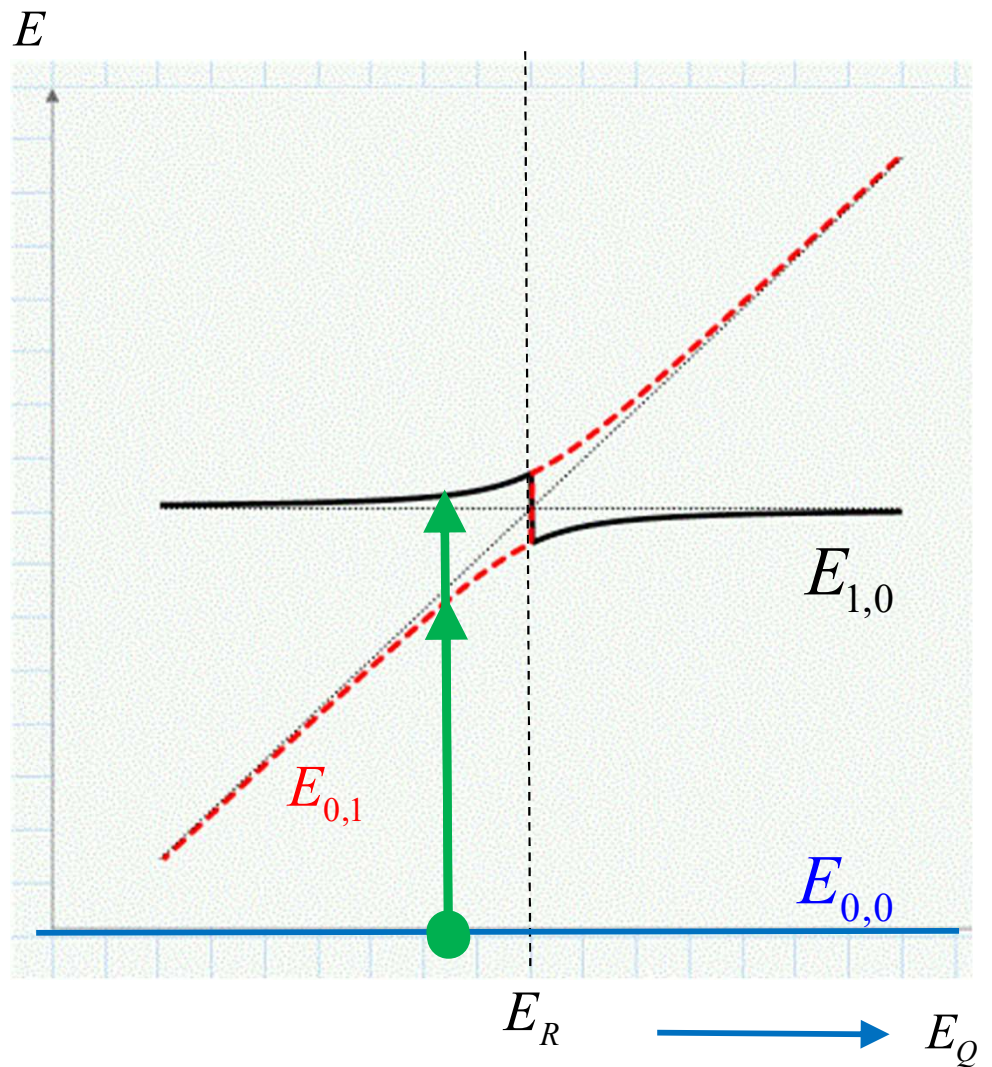
$$E_{n,0} = \left(\frac{(2n-1)E_R + E_Q}{2} \right) - \sqrt{\left(\frac{E_Q - E_R}{2} \right)^2 + (\sqrt{n} T)^2}$$

Résonance:

$$\frac{|E_Q - E_R|}{T} \ll 1$$

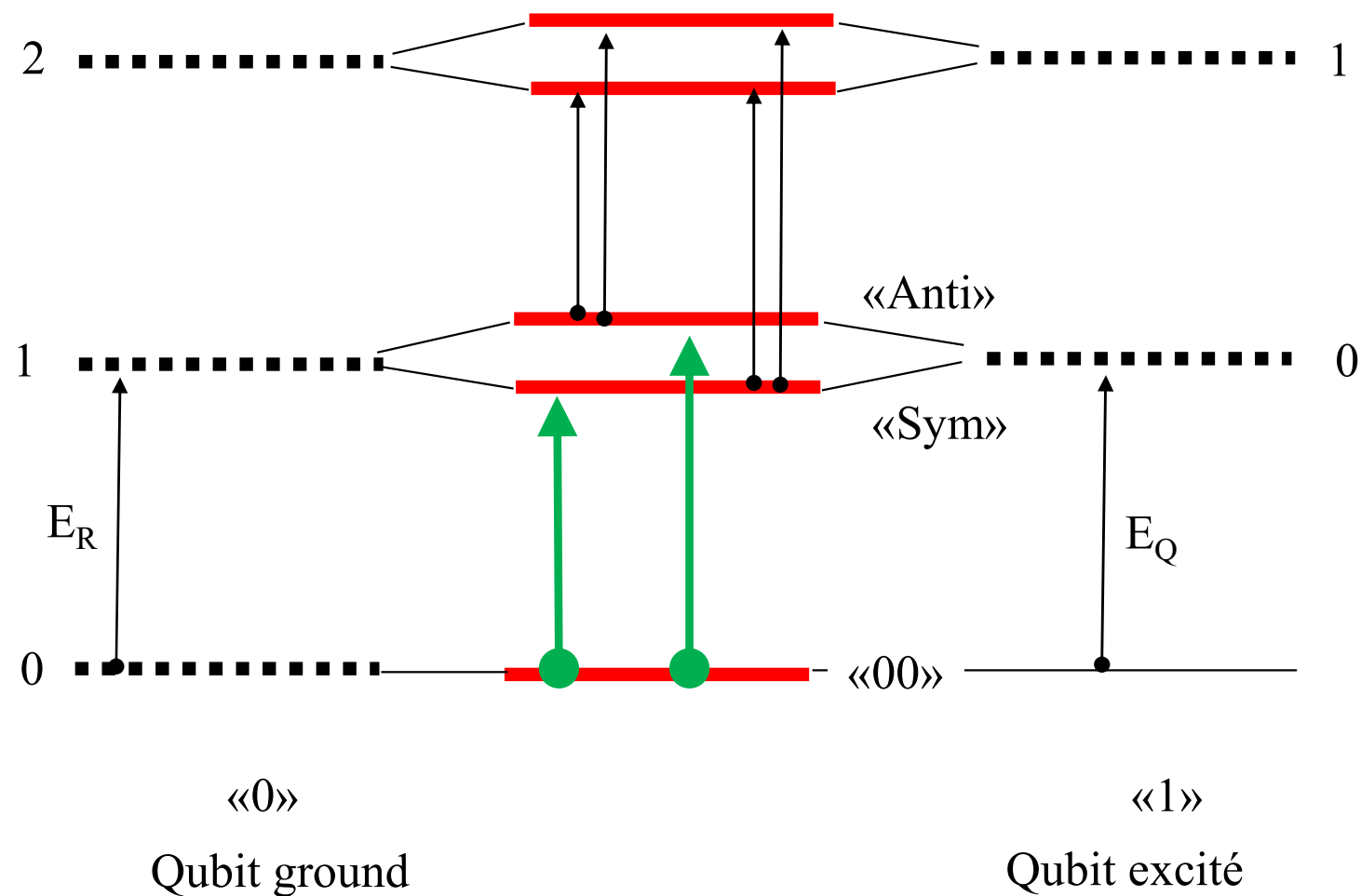


Couplage des modes



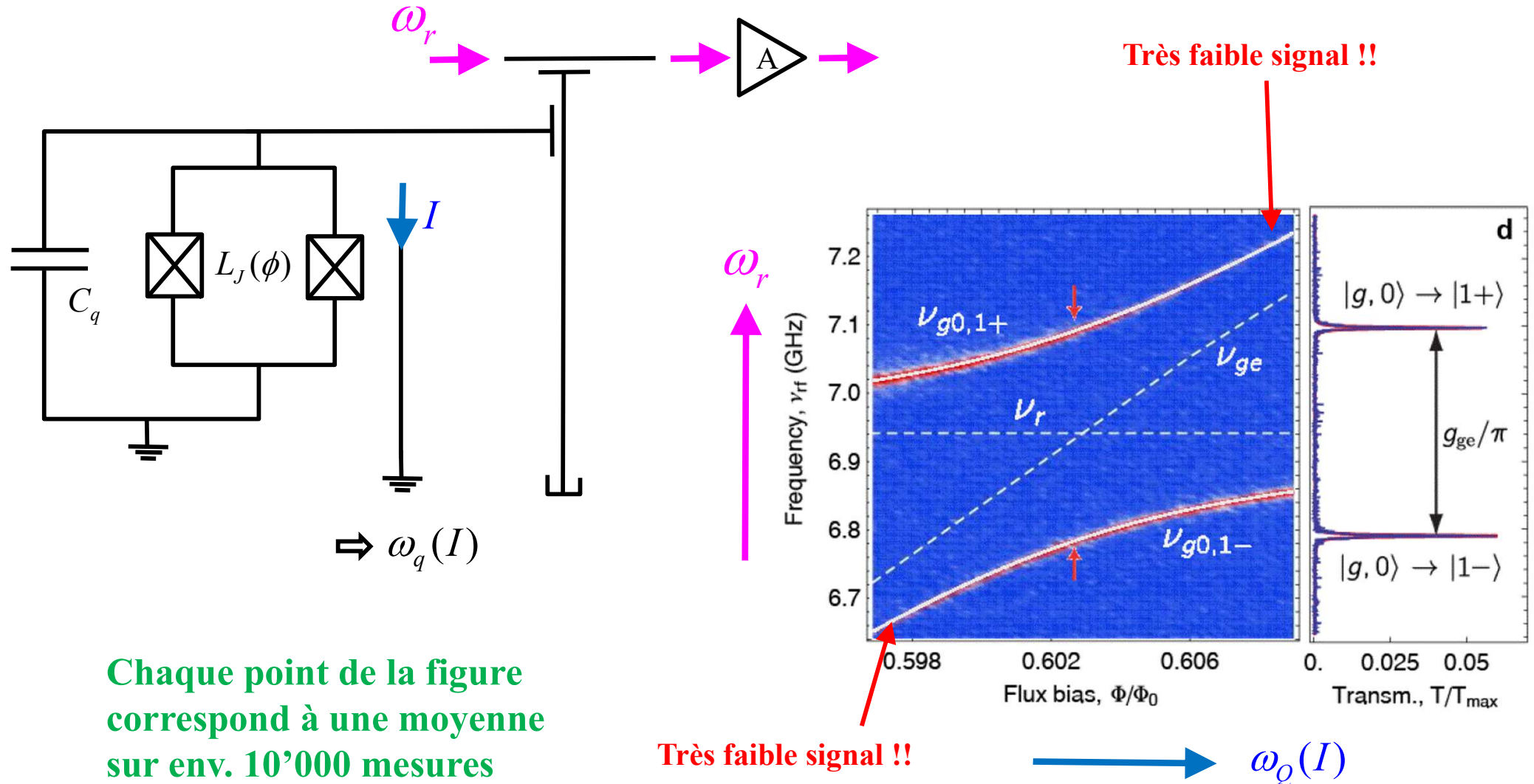
Le Qubit n'est pas excité \rightarrow transition «00-Sym» ou «00-Anti»

Etat du résonateur

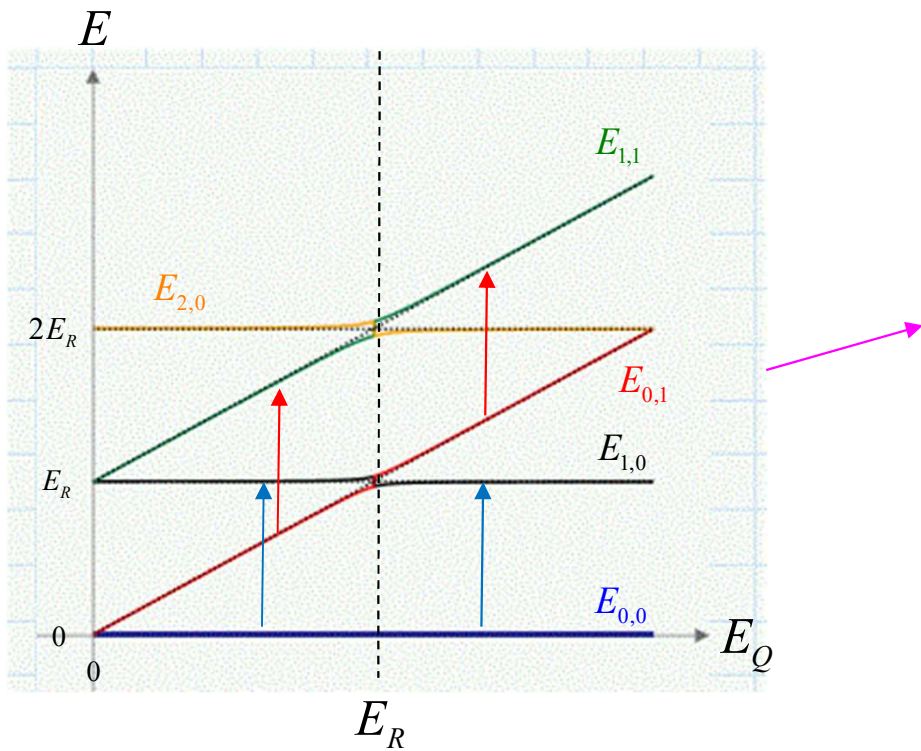


Transmon et résonateur couplés: Mesures en résonance

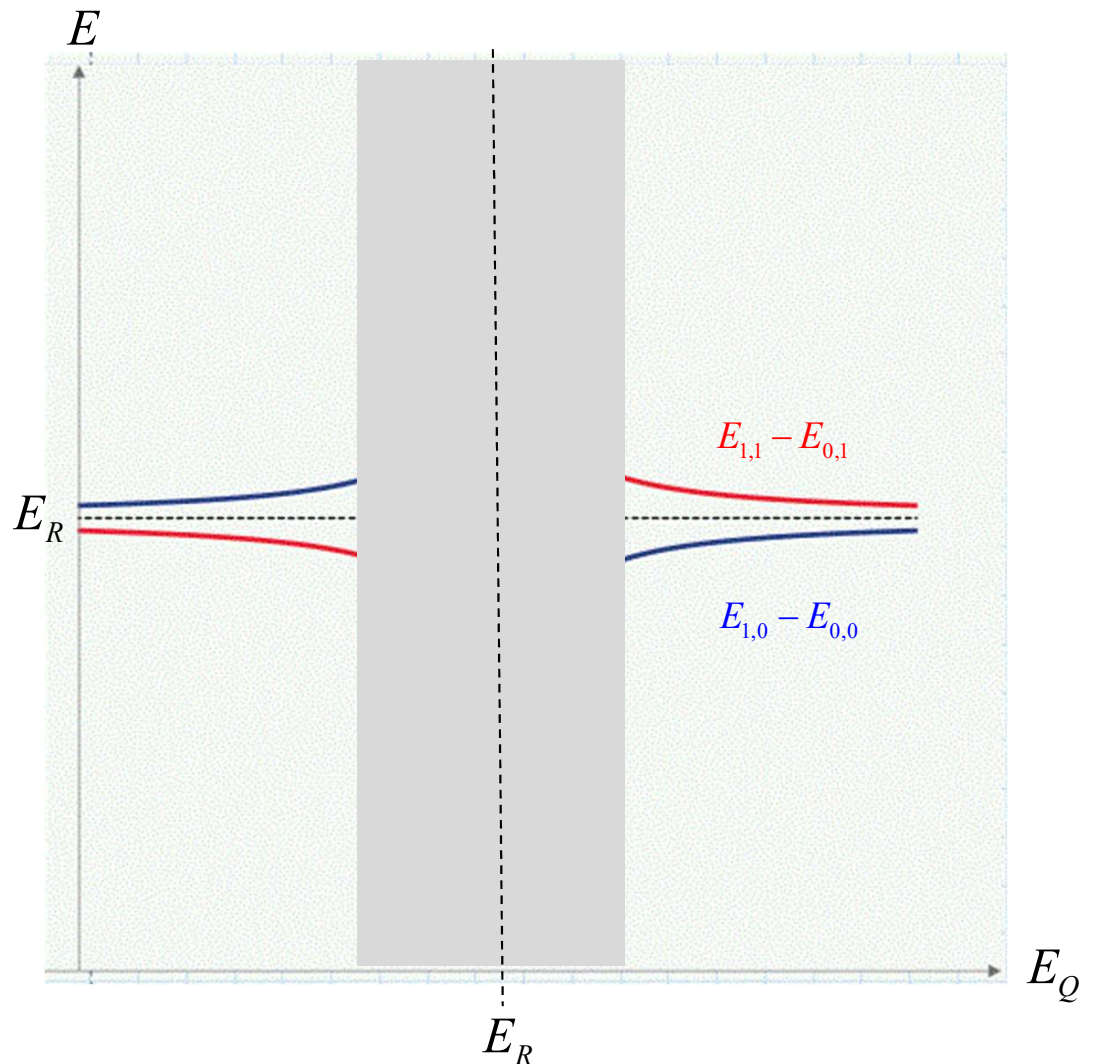
J. Fink et al., *Nature (London)* **454**, 315 (2008)

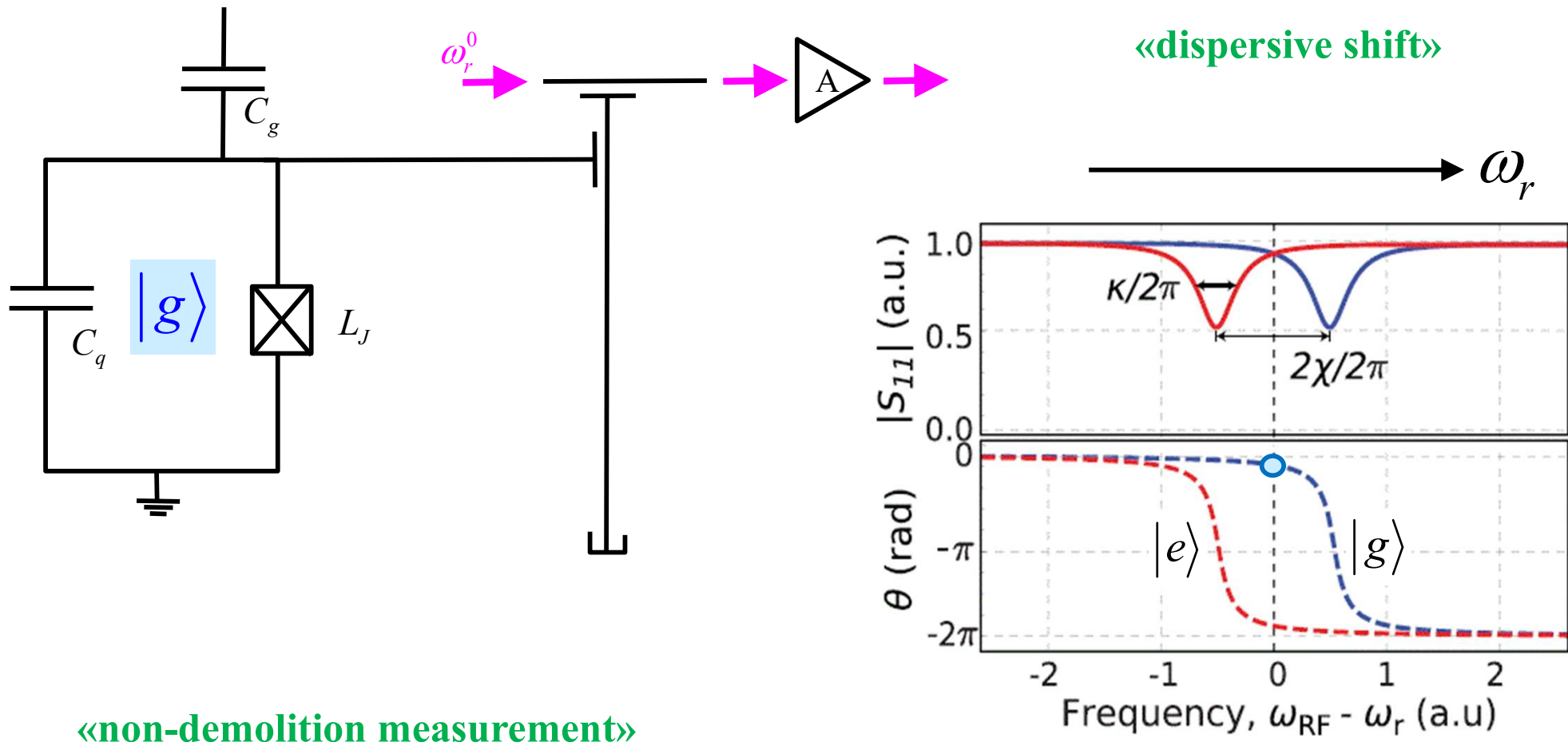


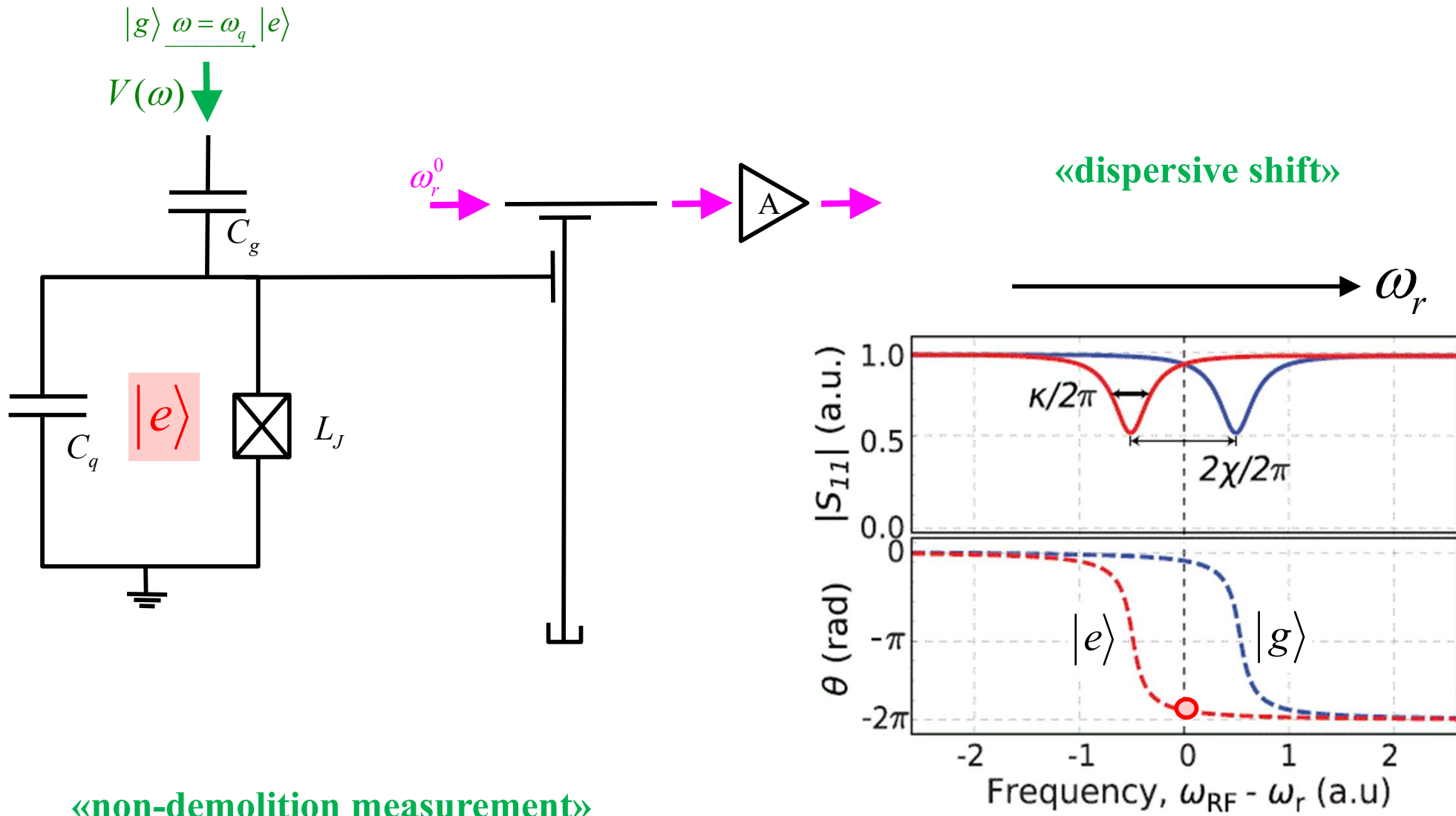
$$\frac{|E_Q - E_R|}{T} \gg 1$$



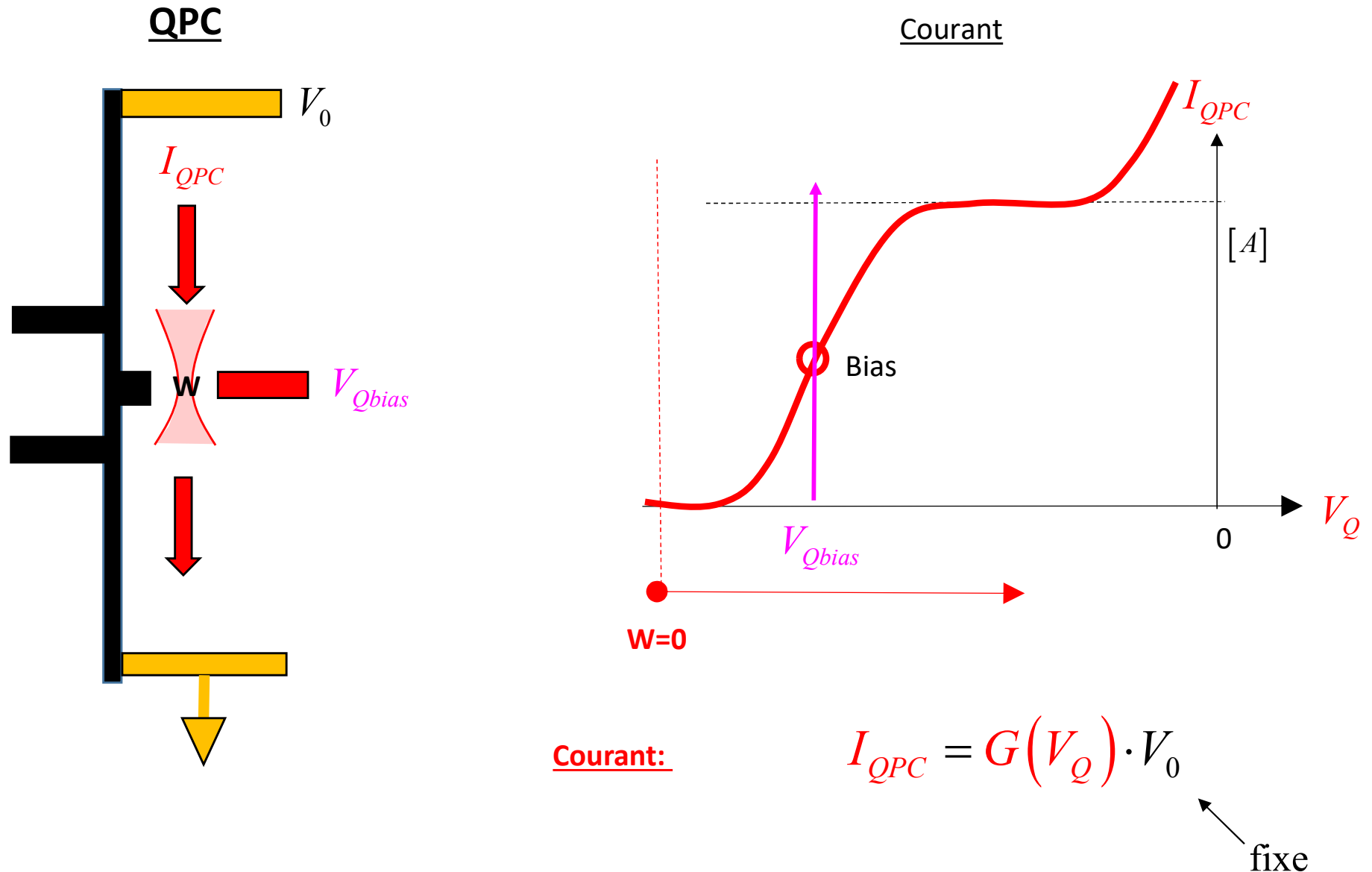
Shift de la fréquence du résonateur



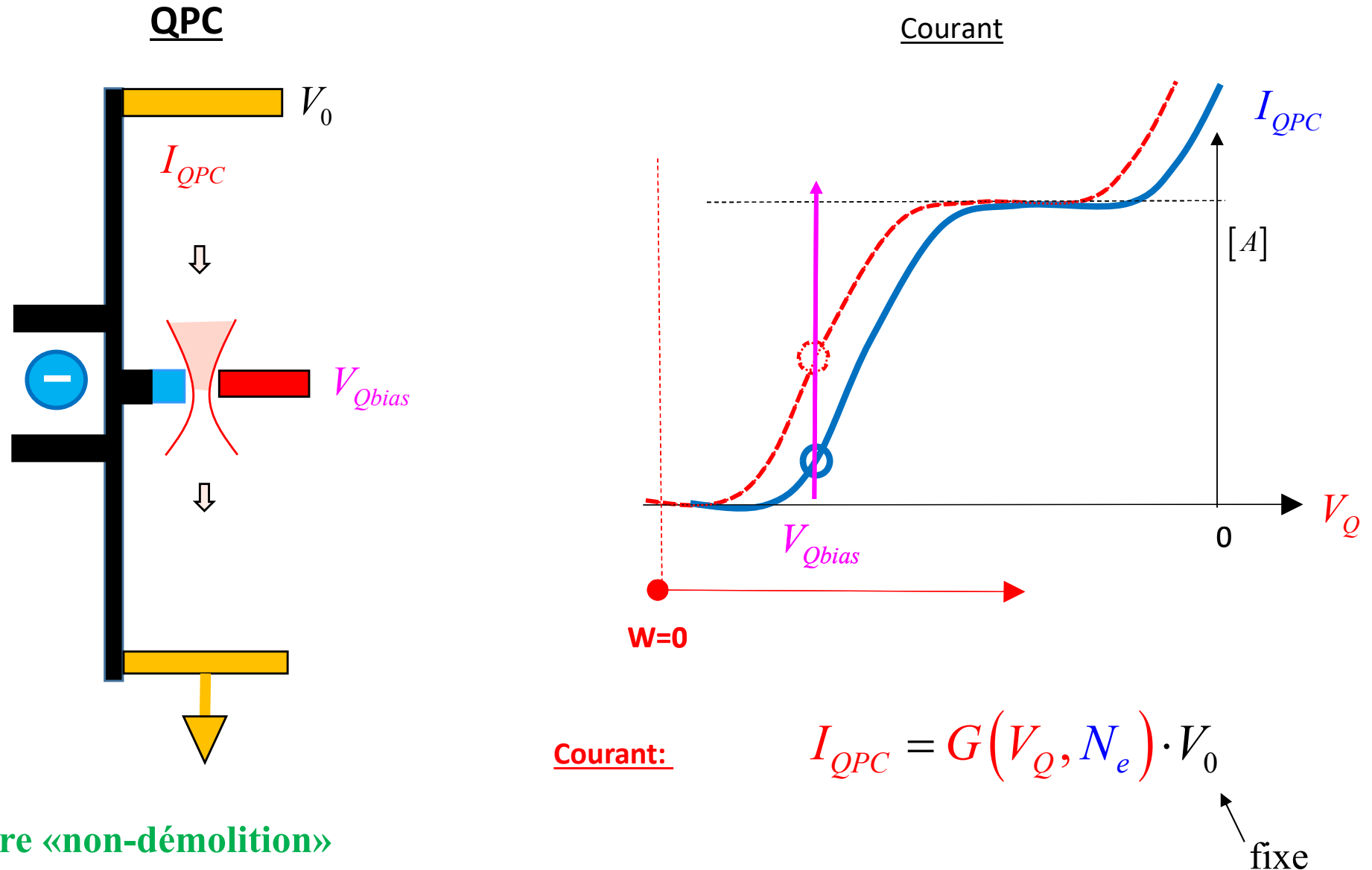




« non-demolition measurement»
Rappel: Quantum Point Contact

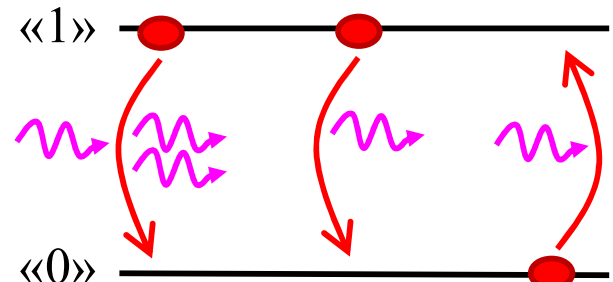


« non-demolition measurement »
Rappel: Quantum Point Contact



Interaction lumière – matière

Absorption, émission



Interaction entre un électron (sur deux états atomiques «0» et «1») et un champs photonique.

Emission:

$$\langle n+1, "0" | H_{\text{ém}} | \textcolor{red}{n}, "1" \rangle = \beta \cdot \sqrt{n+1} \cdot \langle n+1, "0" | \textcolor{red}{n+1, "0"} \rangle$$

$$H_{ém} \approx \beta \cdot \cancel{a_+} \sigma_-$$

$$\left| \langle n+1, "0" | H_{ém} | n, "1" \rangle \right|^2 = |\beta|^2 \cdot (n+1)$$

↑ Emission stimulée ↑ Emission spontanée

Absorption:

$$\langle n-1, "1" | H_{ab} | \textcolor{magenta}{n}, "0" \rangle = \beta \cdot \sqrt{n} \cdot \langle n-1, "1" | \textcolor{magenta}{n-1}, "1" \rangle$$

$$\left| \langle n-1, "1" | H_{ab} | n, "0" \rangle \right|^2 = |\beta|^2 \cdot \textcolor{magenta}{n}$$

Absorption

Exercice 12.1: Hamiltonien de couplage iSWAP

$$H_c \approx -T \cdot (a_{1+}a_{2-} + a_{1-}a_{2+})$$

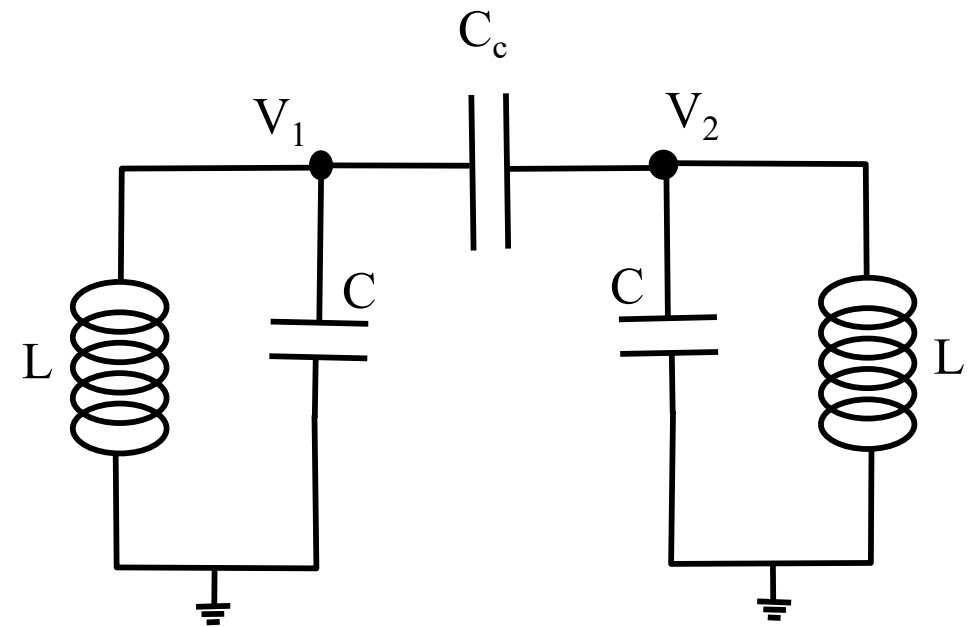
$$H_c \approx -T \cdot \begin{pmatrix} 0 & 0 & 0 & 0 \\ 0 & 0 & 1 & 0 \\ 0 & 1 & 0 & 0 \\ 0 & 0 & 0 & 0 \end{pmatrix}$$

Reprendons l'exercice 9.3:

Considérez seulement deux modes
dans chaque résonateur (2 qubits)

1) Déterminez le propagateur $U(t)$

2) Déterminez le temps t_1 pour obtenir la fonction iSWAP

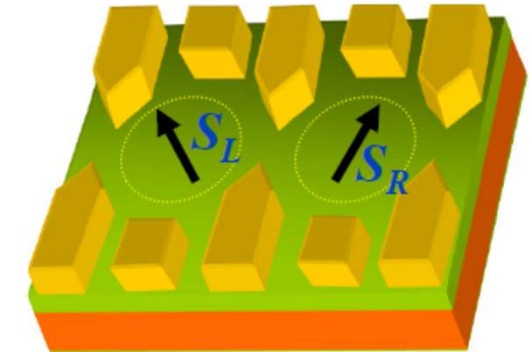


$$iSWAP = \begin{pmatrix} 1 & 0 & 0 & 0 \\ 0 & 0 & i & 0 \\ 0 & i & 0 & 0 \\ 0 & 0 & 0 & 1 \end{pmatrix}$$

Exercice 12.2 : Hamiltonien de couplage \sqrt{SWAP}

Reprenez l'exercice 9.4

$$H = -T \cdot \vec{\sigma}_1 \cdot \vec{\sigma}_2$$



- Ecrivez l'Hamiltonien dans sa base de vecteurs propres
- Exprimez le propagateur dans la base des vecteurs propres
- Exprimez ce propagateur dans la base standard
- Quel temps t_1 permet d'obtenir la fonction \sqrt{SWAP} ?

$$\sqrt{SWAP} = \begin{pmatrix} 1 & 0 & 0 & 0 \\ 0 & \frac{1}{2}(1+i) & \frac{1}{2}(1-i) & 0 \\ 0 & \frac{1}{2}(1-i) & \frac{1}{2}(1+i) & 0 \\ 0 & 0 & 0 & 1 \end{pmatrix}$$

